

Universidade Federal de Minas Gerais
Departamento de Ciência da Computação

Projeto e Análise de Algoritmos Casamento de Padrões

Trabalho disponível em:
<http://www.dcc.ufmg.br/~fred/paa/tp3>

Aluno: Frederico Paiva Quintão

Monitor: Fabiano Cupertino Botelho

Professor: Nivio Ziviani

Belo Horizonte
27 de maio de 2006

Sumário

1 Decisões de projeto	1
1.1 Análise de Entrada e Saída (E/S)	1
1.2 Organização de arquivos e módulos	4
1.3 Interface com o usuário	5
2 Busca aproximada de padrões	6
2.1 Busca aproximada usando Programação Dinâmica	6
2.2 Algoritmo para Casamento Aproximado de Sellers	6
2.3 Complexidade do algoritmo	6
2.4 Implementação	8
2.4.1 Estruturas de dados utilizadas	8
2.4.2 Descrição dos módulos e métodos	8
2.4.3 Utilização do sistema	8
2.5 Busca aproximada utilizando o algoritmo <i>Shift-And</i>	9
2.5.1 Descrição de módulos, métodos e tipos	9
2.5.2 Utilização do sistema	11
2.6 Resultados Computacionais	11
2.6.1 Roteiro para os testes	11
2.6.2 Resultados do Algoritmo de Programação Dinâmica de Sellers	11
2.6.3 Resultados do Shift-And	20
2.6.4 Comparações Sellers x Shift-And	28
2.6.5 Parte I – Conclusões gerais	29
3 Busca exata de padrões	32
3.1 Revisão das Decisões de Projeto	32
3.2 Busca exata em texto não comprimido usando o BMH	32
3.2.1 Complexidade do BMH	33
3.2.2 Implementação	33
3.2.3 Descrição de tipos e módulos	34
3.2.4 Utilização dos sistemas	34
3.3 Busca exata em texto comprimido usando o BMH	35
3.3.1 Compactação de dados com Código de Huffman	35
3.3.2 Busca no arquivo comprimido	37
3.3.3 Utilização do sistema	38
3.4 Resultados Computacionais	39
3.4.1 Resultados do $BMH\alpha$	39
3.4.2 Resultados do $BMH\beta$	42
3.4.3 Resultados do BMH aplicado ao texto comprimido por Huffman	44
3.5 Resultados computacionais comparativos	46
3.6 Conclusões gerais – Parte II	48
4 Listagem dos códigos fonte	51

Lista de Figuras

1	Diferença de tempos entre os sistemas.	4
2	Árvore de diretórios do sistema.	5
3	Autômato não-determinista capaz de fazer uma busca com até 2 erros.	9
4	Programação Dinâmica: Comparações realizadas no arquivo wsj89 , $k = 0$	12
5	Programação Dinâmica: Tempo gasto para cada padrão. Busca no arquivo wsj89 , $k = 0$	13
6	Programação Dinâmica. Variação do tamanho do arquivo para $k = 0$	18
7	Programação Dinâmica. Variação do tamanho do arquivo para $k = 1$	18
8	Programação Dinâmica. Variação do tamanho do arquivo para $k = 2$	18
9	Programação Dinâmica. Variação do tamanho do arquivo para $k = 3$	19
10	Programação Dinâmica. Variação do valor de k para o arquivo wsj89	19
11	Programação Dinâmica. Variação do valor de k para o arquivo wsj88_20	20
12	Programação Dinâmica. Variação do valor de k para o arquivo wsj88	20
13	Shiftand. Variação do tamanho do arquivo para $k = 0$	23
14	Shiftand. Variação do tamanho do arquivo para $k = 1$	25
15	Shiftand. Variação do tamanho do arquivo para $k = 2$	25
16	Shiftand. Variação do tamanho do arquivo para $k = 3$	26
17	Shiftand. Variação do valor de k para o arquivo wsj89	26
18	Shiftand. Variação do valor de k para o arquivo wsj88_20	27
19	Shiftand. Variação do valor de k para o arquivo wsj88	27
20	Sellers x Shiftand. Variação do tamanho do arquivo para $k = 0$	28
21	Sellers x Shiftand. Variação do tamanho do arquivo para $k = 1$	28
22	Sellers x Shiftand. Variação do tamanho do arquivo para $k = 2$	29
23	Sellers x Shiftand. Variação do tamanho do arquivo para $k = 3$	29
24	Sellers x Shiftand. Variação do valor de k para o arquivo wsj89	30
25	Sellers x Shiftand. Variação do valor de k para o arquivo wsj88_20	30
26	Sellers x Shiftand. Variação do valor de k para o arquivo wsj88	30
27	BMH α . Variação do tamanho do arquivo.	41
28	BMH β . Variação do tamanho do arquivo.	43
29	BMH sobre o arquivo comprimido. Variação do tamanho do arquivo.	45
30	BMH sobre o arquivo comprimido. Variação do tamanho do arquivo considerando novos padrões.	45
31	Comparação entre os BMHs desenvolvidos.	46
32	Comparação entre os BMHs desenvolvidos para cada padrão sobre o arquivo wsj89	47
33	Comparação entre os BMHs desenvolvidos para cada padrão sobre o arquivo wsj88_20	48
34	Comparação entre os BMHs desenvolvidos para cada padrão sobre o arquivo wsj88	49

Lista de Tabelas

1	linha.c : resultados.	3
2	caractere.c : resultados.	3
3	Máscaras de bits do Shift-And para a palavra sistema	10
4	Padrões utilizados para testes e respectivos tamanhos.	12
5	Programação Dinâmica: Arquivo wsj89, $k = 0$	14
6	Programação Dinâmica: Arquivo wsj89, $k = 1$	14
7	Programação Dinâmica: Arquivo wsj89, $k = 2$	14
8	Programação Dinâmica: Arquivo wsj89, $k = 3$	15
9	Programação Dinâmica: Arquivo wsj88_20, $k = 0$	15
10	Programação Dinâmica: Arquivo wsj88_20, $k = 1$	15
11	Programação Dinâmica: Arquivo wsj88_20, $k = 2$	16
12	Programação Dinâmica: Arquivo wsj88_20, $k = 3$	16
13	Programação Dinâmica: Arquivo wsj88, $k = 0$	16
14	Programação Dinâmica: Arquivo wsj88, $k = 1$	17
15	Programação Dinâmica: Arquivo wsj88, $k = 2$	17
16	Programação Dinâmica: Arquivo wsj88, $k = 3$	17
17	Shift-And: Arquivo wsj89, $k = 0$	21
18	Shift-And: Arquivo wsj89, $k = 1$	21
19	Shift-And: Arquivo wsj89, $k = 2$	21
20	Shift-And: Arquivo wsj89, $k = 3$	22
21	Shift-And: Arquivo wsj88_20, $k = 0$	22
22	Shift-And: Arquivo wsj88_20, $k = 1$	22
23	Shift-And: Arquivo wsj88_20, $k = 2$	23
24	Shift-And: Arquivo wsj88_20, $k = 3$	23
25	Shift-And: Arquivo wsj88, $k = 0$	24
26	Shift-And: Arquivo wsj88, $k = 1$	24
27	Shift-And: Arquivo wsj88, $k = 2$	24
28	Shift-And: Arquivo wsj88, $k = 3$	25
29	Razão de compressão dos arquivos da coleção wsj	37
30	BMHα: Arquivo wsj89	39
31	BMHα: Arquivo wsj88_20	40
32	BMHα: Arquivo wsj88	40
33	BMHβ: Arquivo wsj89	42
34	BMHβ: Arquivo wsj88_20	42
35	BMHβ: Arquivo wsj88	43
36	Busca no Arquivo wsj89 comprimido	44
37	Busca no Arquivo wsj88_20 comprimido	44
38	Busca no Arquivo wsj88_20 comprimido	45

Introdução

Neste trabalho, são apresentadas abordagens diferentes para o tratamento do problema de Casamento de Padrões. Na primeira parte do trabalho, são apresentados dois algoritmos para realizar a busca no texto permitindo erros: uma variante do algoritmo de Programação Dinâmica para o problema da Distância de Edição e o algoritmo *Shift-And*. Na segunda parte, utiliza-se o algoritmo *Boyer-Moore-Horspool* para busca em textos comprimidos e não comprimidos.

Para ambas as abordagens, são apresentados resultados computacionais, tanto em termos do número de operações realizadas quanto o tempo de relógio.

Antes de iniciar a apresentação dos algoritmos e dos resultados computacionais, serão apresentadas algumas Decisões de Projeto, principalmente relacionadas a entrada e saída (E/S) de dados. Estas decisões serão utilizadas para guiar o desenvolvimento dos algoritmos.

Uma cópia deste documento pode ser obtida em:
<http://www.dcc.ufmg.br/~fred/paa/tp3>.

Os códigos-fonte desenvolvidos podem ser descarregados através do endereço:
<http://www.dcc.ufmg.br/~fred/paa/tp3/fontes>.

1 Decisões de projeto

1.1 Análise de Entrada e Saída (E/S)

Nesta seção, são apresentadas algumas análises que levarão a decisões importantes do projeto de algoritmos de busca em texto. O objetivo é avaliar diferentes abordagens de entrada e saída (E/S) e decidir quais são as melhores estratégias.

Com o objetivo de avaliar diferentes estratégias, foram desenvolvidos dois programas simples, que fazem uso das diretivas **fgets** e **fgetc**. De acordo com o [2], estas operações trabalham da seguinte maneira:

```
#include <stdio.h>
char *fgets( char *str, int num, FILE *stream );
```

Esta operação lê até **num-1** caracteres do arquivo **stream** e coloca estes caracteres na *string str*. **fgets** pára quando encontra o fim de uma linha.

```
#include <stdio.h>
int fgetc( FILE *stream );
```

Esta operação retorna o próximo caractere do **stream**, ou **EOF** (*end of file*) se o final do arquivo é atingido ou um erro é encontrado.

Foram então desenvolvidos dois programas simples, que utilizam as diretivas acima:

linha.c: Realiza a leitura do arquivo ASCII linha por linha. Em seguida, cada caractere da linha é visitado e é realizada uma operação simples sobre ele. Dessa maneira, **todos** os caracteres do texto são lidos e processados. A implementação segue na Listagem 1.

Listagem 1: linha.c

```
#include<stdio.h>
#include<stdlib.h>
#include<string.h>

5  int main (int argc, char ** argv)
{
    FILE *fp;
    char v_Aux;
    char linha[5000];
10   int v_Contador=0;
    int v_Tamanho = 0;

    fp = fopen(argv[1], "r");

15   while(fgets(linha, 5000, fp))
    {
        v_Tamanho = strlen(linha);
        for (v_Contador = 0; v_Contador < v_Tamanho; v_Contador
20          ++)
        {
            v_Aux = linha[v_Contador];
            v_Aux = v_Aux+1;
        }
        }
25   return 0;
}
```

caractere.c: Este programa realiza a leitura de um arquivo caractere por caractere. Cada caractere é lido e em seguida é realizada uma operação simples sobre ele. A implementação segue na Listagem 2.

Listagem 2: caractere.c

```
#include<stdio.h>
#include<stdlib.h>

5  int main (int argc, char ** argv)
{
    FILE *fp;
    char v_Aux;

10   fp = fopen(argv[1], "r");

    while (! (feof(fp)))
    {
        v_Aux = fgetc(fp);
        v_Aux = v_Aux + 1;
15   }
    return 0;
}
```

Do modo como os programas foram implementados, eles lêem todo o arquivo e fazem uma operação simples sobre todos os seus caracteres, de modo que o resultado final obtido é sempre o mesmo e então pode-se fazer uma comparação justa entre eles.

Foram feitas então medições de tempo com cada programa, sobre os seguintes arquivos: `wsj89` (2.9MB), `wsj88_10` (9.7MB), `wsj88_20` (20MB) e `wsj88` (105MB). Os testes foram feitos em uma máquina Intel Pentium IV, de 2.4GHz e 1GB de memória RAM¹.

A Figura 1 ilustra os resultados obtidos, plotados com os dados das Tabelas 1 e 2.

Arquivo	Real	Usuário	Sistema
<code>wsj89</code>	0.034	0.033	0.001
<code>wsj88_10</code>	0.113	0.102	0.009
<code>wsj88_20</code>	0.219	0.199	0.020
<code>wsj88</code>	1.172	1.082	0.086

Tabela 1: `linha.c`: resultados.

Arquivo	Real	Usuário	Sistema
<code>wsj89</code>	0.17	0.13	0.01
<code>wsj88_10</code>	1.28	0.45	0.039
<code>wsj88_20</code>	1.73	0.91	0.08
<code>wsj88</code>	7.069	4.78	0.083

Tabela 2: `caractere.c`: resultados.

Estes resultados deixam claro que a estratégia de ler linha por linha do arquivo é muito mais interessante. Algumas razões para essa superioridade podem ser:

- Menor número de interrupções gerados no nível do sistema operacional.
- O fato de que uma linha provavelmente tem uma localidade de referência muito maior do que um caractere.
- A possibilidade de operar em memória à medida de que a linha já esteja lida.

Com base nos resultados obtidos, foram tomadas as seguintes decisões de projeto:

- O texto não será colocado todo em memória, tendo em vista que isto pode se tornar inviável caso o arquivo seja muito grande. Além disso, o tempo para colocar o arquivo em memória é alto, caso seja feita a leitura caractere por caractere.
- A leitura do texto será feita linha por linha, pois esta estratégia revelou-se mais interessante. No caso de casamento aproximado, será feito um tratamento especial para a possibilidade de se casar um padrão que começa em uma linha e termina em outra, quando for feita a busca permitindo 1 ou mais erros.

¹Todos os testes apresentados neste trabalho foram feitas em máquinas com esta configuração.

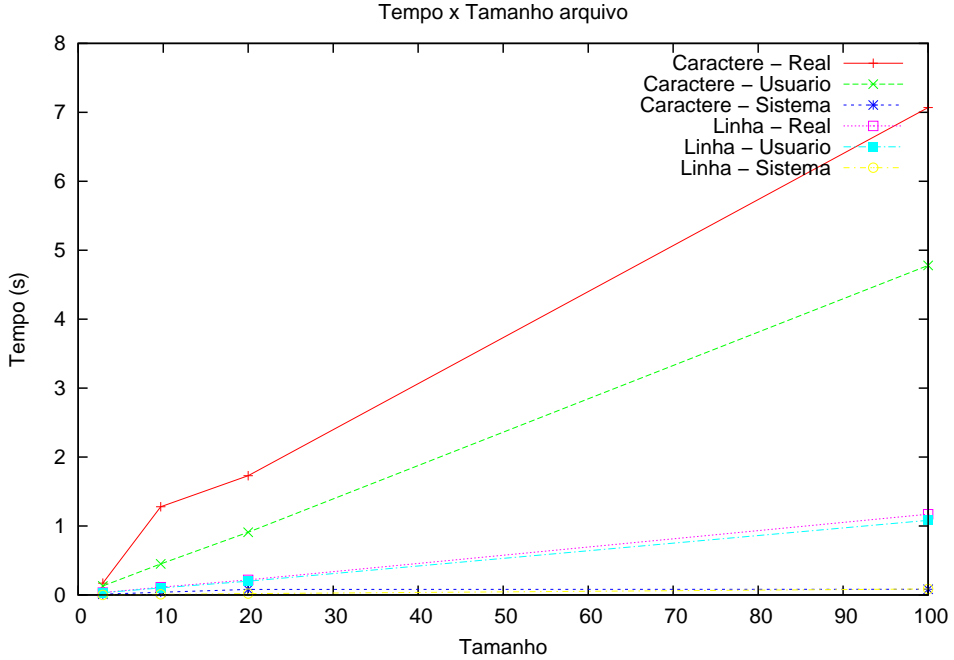


Figura 1: Diferença de tempos entre os sistemas.

1.2 Organização de arquivos e módulos

Durante o desenvolvimento foi levantada a seguinte questão: *Os módulos deverão estar integrados ou devem ser implementados separadamente?* Optou-se pela implementação em separado, pelos seguintes motivos:

- Re-utilização do código fornecido por [4].
- Possibilidade de otimização de código por parte do `gcc`. Dada a menor independência e tamanho do fonte, o `gcc` pode otimizar melhor o código, inclusive através de diretivas `-Oi`, $i \in \{1, 2, 3, \dots, 9\}$.
- Menor binário gerado e possibilidade de aproveitamento de cada algoritmo individualmente para uso prático.

Foi formada então a estrutura de diretórios apresentada na Figura 2, que pode ser útil para o momento da avaliação do funcionamento dos algoritmos.

Dentro da pasta `comprimido`, encontram-se as seguintes pastas:

1. `lbmh`: contém a primeira implementação do BMH.
2. `bmh`: contém uma implementação alternativa do BMH (ver Seção 3.1).
3. `huffman`: implementação de compressão, descompressão e busca em arquivos comprimidos.

Dentro da pasta `nocomprimido`, encontram-se as seguintes pastas:

1. `ldinamica`: contém a implementação do Algoritmo de Sellers.
2. `lshiftand`: contém a implementação do *Shift-And* aproximado.

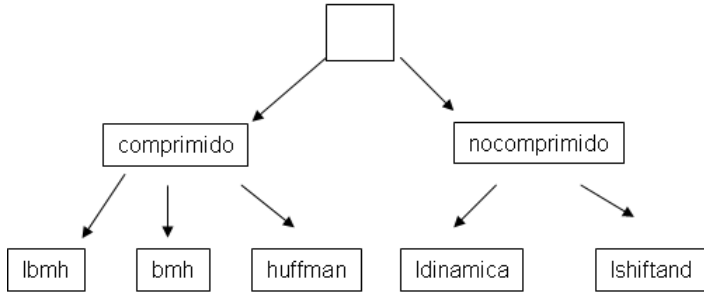


Figura 2: Árvore de diretórios do sistema.

1.3 Interface com o usuário

Outro ponto de discussão é a interface com o usuário, tanto para entrada quanto para saída de dados. Foram utilizadas as diretivas de `getopt` da linguagem C para fornecer entrada de dados (exceto no caso do sistema de busca em texto comprimido). Cada aplicação desenvolvida terá uma seção explicativa sobre a sintaxe de chamada, e portanto ela não é descrita aqui. Por outro lado, com relação à interface de saída, foram tomadas as seguintes decisões:

- Cada linha do texto onde ocorre um padrão é apresentada com o número da linha seguido da linha propriamente dita.
- Caso um padrão ocorra mais de uma vez em uma linha, a linha será impressa somente uma vez. Além disso, aparecerá na frente do número da linha um identificador apresentando quantas vezes o padrão aparece na linha. Por exemplo, considere o seguinte texto de entrada:

`Meu nome é Frederico. Meu apelido é Fred.`

Caso seja procurado o padrão `Fred`, o resultado será:

`2 x [1]: Meu nome é Frederico. Meu apelido é Fred.`

indicando que o padrão aparece 2 vezes na linha 1.

- Para a realização dos testes, a operação de saída será considerada.

As decisões apresentadas nas três seções acima serão adotadas sempre que possível. Caso haja algum caso que contrarie alguma decisão, ele estará devidamente explicitado no texto.

2 Busca aproximada de padrões

2.1 Busca aproximada usando Programação Dinâmica

O algoritmo apresentado no Trabalho Prático II para o Problema da Distância de Edição pode ser facilmente adaptado para realizar a busca aproximada de padrões no texto, conforme sugerido por Navarro em [1].

Entretanto, do jeito que foi implementado, o algoritmo pode ser muito ineficiente com relação à complexidade de espaço, tendo em vista que ele é $O(|P||T|)$, o que pode se tornar inviável caso o texto seja grande e o padrão também. Por exemplo, para um texto de 100MB e um padrão de tamanho 5, tem-se que 500MB são necessários somente para alocar a matriz em memória. Caso o tamanho do padrão seja aumentado para 20, serão necessários 2GB para armazenar esta mesma matriz. Este valor está próximo do limite confiável de alocação para sistemas Linux, por exemplo.

Com base nas observações acima, foi utilizado um outro algoritmo, também de Programação Dinâmica, atribuído a Sellers, datado de 1980.

2.2 Algoritmo para Casamento Aproximado de Sellers

Este algoritmo funciona da seguinte maneira: um vetor de custo C , com $|P| + 1$ posições, é inicializado com os seguintes valores: $C_i = i$. Então, o texto é processado caractere por caractere. Para cada caractere y lido do texto, as posições contíguas do vetor são atualizadas de acordo com a seguinte relação:

$$\begin{cases} C'_i = C_{i-1} & \text{se } P[i]=y \\ C'_{i,j} = 1 + \min (C_{i-1}, C'_{i-1}, C_i) & \text{caso contrário} \end{cases}$$

O algoritmo de Sellers, em alto nível, é apresentado no Algoritmo 1.

2.3 Complexidade do algoritmo

Com relação ao tempo de processamento, o algoritmo é $O(k|T|)$, onde k é o número de erros permitidos e T é o tamanho do texto. É fácil observar esta complexidade, tendo em vista que o algoritmo possui dois *loops* aninhados, um baseado no tamanho do arquivo (leitura de cada caractere enquanto o arquivo não termina) e outro baseado na variável `lact`, que sempre mantém um tamanho que é $O|P|$.

Com relação ao espaço, o algoritmo foi implementado de modo a consumir a menor quantidade possível de memória. Isto é obtido eliminando-se a necessidade de o texto ficar em memória durante a execução, pois o mesmo não é alocado em uma matriz. Logo, como somente o padrão é armazenado em memória, a complexidade de espaço é $O(|P|)$.

É importante salientar a aplicação das decisões de projeto no caso presente. O algoritmo foi implementado lendo linha por linha do arquivo. Foram feitos alguns testes utilizando-se esta implementação e uma outra que considera caractere por caractere. Os resultados foram os seguintes:

- O método que utiliza linha por linha aparentemente executa mais rapidamente. Em testes feitos no arquivo `wsj88` considerando o padrão `Columbia`, obteve-se

Algoritmo 1 Dinâmica(p_Padrao, p_NumeroErros, p_ArquivoEntrada)

```
int i, lact, pos, pC, nC, *C, v_TamanhoPadrao;
char y;
v_TamanhoPadrao = tamanho(p_Padrao);
para (i=0; i<=v_TamanhoPadrao; i++) faça
    C[i] = 1;
fim para
lact = p_NumeroErros + 1;
enquanto (!fim(p_ArquivoEntrada)) faça
    linha = proximaLinha(p_ArquivoEntrada);
    para (pos=1; pos <= tamanho(linha); pos++) faça
        y = linha[pos];
        para (i=1; i<=lact; i++) faça
            se p_Padrao[i] == y então
                nC = pC
            senão
                se pC < nC então
                    nC = pC;
                fim se
                se C[i] < nC então
                    nC = C[i];
                fim se
                nC = nC + 1;
            fim se
            pC = C[i];
            C[i] = nC;
        fim para
    enquanto (C[lact] > p_NumeroErros) faça
        lact = lact - 1;
    fim enquanto
    se lact = v_TamanhoPadrao então
        Reporta casamento em pos;
    senão
        lact = lact + 1;
    fim se
fim para
fim enquanto
```

que o algoritmo de leitura de caractere por caractere é aproximadamente 1.5 vezes mais lento do que o de leitura por linha.

- O método que utiliza caractere por caractere possui a vantagem de deixar transparente para o desenvolvedor a sobreposição de linhas. Por exemplo, ele é capaz de encontrar padrões que comecem em uma linha e terminem em outra, caso exista a possibilidade de (pelo menos) 1 erro para a busca aproximada. Para o método de linha por linha, é necessário tratar este caso explicitamente. Entretanto, este tratamento é muito simples e não acarreta

prejuízo computacional. Para que ele seja feito, basta remover os caracteres de nova linha ('\n') da linha sendo lida, e manter sempre os valores correntes do vetor C e das variáveis $lact$, pC e nC . Por exemplo, considere que o texto abaixo é lido na entrada:

```
#Makefile TP3 - PAA
#Algoritmo de Programacao Dinamica para Casamento de padroes
```

É possível fazer uma busca com o seguinte padrão: $PAA\#Algoritmo$ (que começa na primeira linha e termina na segunda). O caractere '\n' é ignorado². Basta realizar a busca permitindo um erro que o algoritmo fará o casamento. Esta observação é importante pois será aplicada também no algoritmo *Shift-And*, que será apresentado em seguida.

2.4 Implementação

2.4.1 Estruturas de dados utilizadas

A principal estrutura do algoritmo é o vetor C , que armazena todas as informações sobre transformações possíveis entre P e T . Este conjunto é armazenado sobre a forma de um `int*`.

2.4.2 Descrição dos módulos e métodos

O principal método da implementação é chamado `editDistance`, que recebe como principais parâmetros o arquivo de entrada, o padrão a ser buscado no arquivo e o número k de erros permitidos na busca. O método opera sobre o vetor C definido na Seção anterior, visando buscar o padrão no texto considerando k erros.

2.4.3 Utilização do sistema

Para utilizar o sistema, deve-se chamar o arquivo `dinamica.e` com a seguinte lista de parâmetros:

- `-e`: indica o número de erros aceitáveis na pesquisa aproximada
- `-f`: indica o nome do arquivo no qual se deseja fazer a busca
- `-p`: indica o padrão que se deseja buscar no texto

Por exemplo, a seguinte linha busca pelo padrão `CFLAGS` no arquivo de nome `Makefile` considerando uma pesquisa com 1 erro:

```
./dinamica.e -f Makefile -e 1 -p CFLAGS
```

²Acredita-se que esta decisão de projeto não irá diminuir a usabilidade do sistema pois em geral um usuário nunca deverá fazer uma consulta com um padrão que contenha o '\n'

2.5 Busca aproximada utilizando o algoritmo *Shift-And*

Shift-And é um algoritmo para casamento aproximado que utiliza **parallelismo de bit**. Este algoritmo simula um autômato não-determinista e foi apresentado por Wu e Manber em 1992. Trata-se de uma extensão do algoritmo *Shift-And* para casamento exato, proposto por Baeza-Yates e Gonnet em 1989.

O algoritmo simula um autômato não-determinista com k linhas capaz de detectar casamentos aproximados com até $k - 1$ erros.

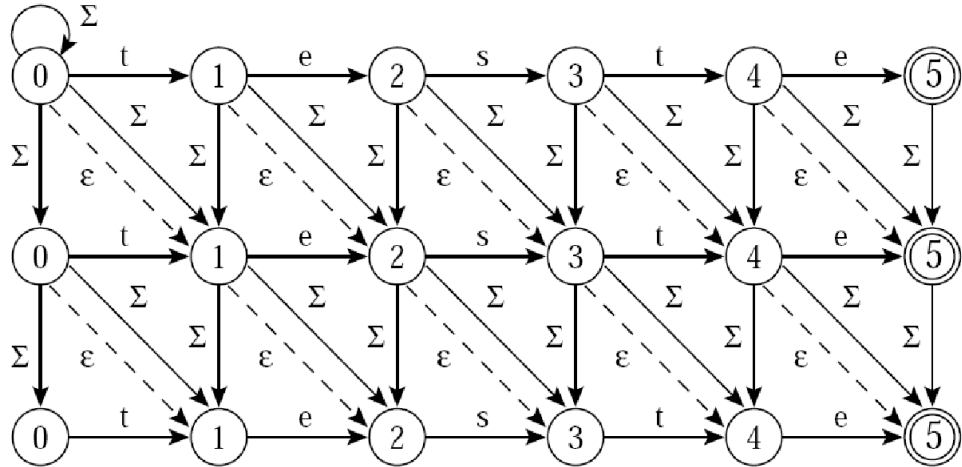


Figura 3: Autômato não-determinista capaz de fazer uma busca com até 2 erros.

O algoritmo empacota cada linha j , com $0 \leq j \leq k$ do autômato não-determinista em uma palavra R_j diferente do computador. Cada caractere lido implica na simulação de todas as transições do autômato, usando operações entre as $k + 1$ máscaras de *bits*. Todas as $k + 1$ máscaras de bits têm a mesma estrutura e assim o mesmo *bit* é alinhado com a mesma posição no texto.

Na posição i do texto, os novos valores R'_j são obtidos a partir dos valores correntes de R_j , de acordo com as seguintes relações:

$$\begin{cases} R'_0 = ((R_0 \gg 1) \mid 10^{m-1} \& M[T[i]]) \text{ e} \\ R'_j = ((R_j \gg 1) \& M[T[i]] \mid R_{j-1} \mid (R_{j-1} \gg 1) \mid (R'_{j-1} \gg 1)) \end{cases}$$

onde M é uma tabela utilizada para armazenar uma máscara de bits $b_1, \dots b_{|P|}$ para cada caractere do padrão P . Por exemplo, para o padrão $P = \text{sistema}$, é obtida a tabela M apresentada na Tabela 3:

O algoritmo em alto nível é apresentado no Algoritmo 2.

2.5.1 Descrição de módulos, métodos e tipos

O sistema está estruturado em dois arquivos principais, `shiftand.c` e `shiftand.h`. O primeiro arquivo contém as implementações e o segundo contém as definições de tipos e interfaces de funções.

Foram utilizados os tipos sugeridos por Ziviani [4], chamados `TipoPadrao` e `TipoTexto`.

Dentro do módulo `shiftand.c` destacam-se os seguintes métodos:

	1	2	3	4	5	6	7
M[s]	1	0	1	0	0	0	0
M[i]	0	1	0	0	0	0	0
M[t]	0	0	0	1	0	0	0
M[e]	0	0	0	0	1	0	0
M[m]	0	0	0	0	0	1	0
M[a]	0	0	0	0	0	0	1

Tabela 3: Máscaras de bits do Shift-And para a palavra sistema.

Algoritmo 2 (Padrão = $p_1p_2 \dots p_m$, FILE *p_ArquivoEntrada)

```

para todo (c ∈ Σ) faça
    M[c] = 0m;
fim para
para (j=1 to m ) faça
    M[pj] = M[pj] | Oj-110m-j;
fim para
para (j=0 to k) faça
    Rj = 1j0m-j;
fim para
enquanto (!fim(p_ArquivoEntrada)) faça
    linha = getProximaLinha(p_ArquivoEntrada)
    para (i=0; i≤ tamanho(linha); i++) faça
        Rant = RO;
        Rnovo = ((Rant >> 1)|10m-1 & M[linha[i]]);
        R0 = Rnovo;
        para (j=1 to k) faça
            Rnovo = ((Rj >> 1) & M[linha[i]]) | Rant | ((Rant | Rnovo) >> 1);
            Rant = Rj;
            Rj = Rnovo | 10m-1;
        fim para
        se ((Rnovo & 0m-1) ≠ 0m) então
            Reporta casamento em linha;
        fim se
    fim para
fim enquanto

```

- void ShiftAndAproximado(TipoTexto T, long *n, TipoPadrao P, long *m, long *k, long p_NúmeroLinhas): este método implementar o algoritmo *Shift-And*, conforme apresentado por Ziviani [4].
- chomp(char *string): faz um *chomp* em uma *string*, isto é, remove o '\n' e coloca um '\0' no final.

2.5.2 Utilização do sistema

Para utilizar o sistema, deve-se chamar o arquivo `shiftand.e` com a seguinte lista de parâmetros:

- `-e`: indica o número de erros aceitáveis na pesquisa aproximada
- `-f`: indica o nome do arquivo no qual se deseja fazer a busca
- `-p`: indica o padrão que se deseja buscar no texto

Por exemplo, a seguinte linha busca pelo padrão `main` no arquivo de nome `shiftand.c` considerando uma pesquisa com 2 erros:

```
./shiftand.e -f shiftand.c -e 2 -p main
```

Caso seja necessário buscar um padrão que tenha o caractere de espaço, o padrão deverá estar entre aspas.

2.6 Resultados Computacionais

Nesta seção, são reportados resultados computacionais obtidos utilizando-se os algoritmos acima, implementados sob a ótica das decisões de projeto da Seção 1. Inicialmente, uma análise de cada algoritmo será apresentada individualmente. Objetiva-se, desta maneira, obter uma visão do comportamento de cada algoritmo em diferentes cenários. Em seguida, serão apresentadas comparações entre os algoritmos, a fim de verificar qual dos dois é superior de acordo com os critérios de número de comparações e tempo de processamento.

2.6.1 Roteiro para os testes

Os algoritmos foram executados sobre os três arquivos da coleção `wsj`: `wsj89`, `wsj88_20` e `wsj88`. A Tabela 4 apresenta os padrões que foram utilizados para as consultas e o tamanho de cada padrão³.

2.6.2 Resultados do Algoritmo de Programação Dinâmica de Sellers

Os resultados obtidos pelo Algoritmo de Sellers podem ser visualizados através da seguintes tabelas:

- As Tabelas 5, 6, 7 e 8 reportam os resultados obtidos pelo algoritmo de Programação Dinâmica de Sellers para o casamento aproximado dos padrões contidos na Tabela 4 para o arquivo `wsj89` para os diferentes valores de k .
- As Tabelas 9, 10, 11 e 12 reportam os resultados obtidos considerando o arquivo `wsj88_20` e os valores de k .
- Finalmente, as Tabelas 13, 14, 15 e 16 reportam resultados similares, mas para o arquivo `wsj88`.

³O caractere de espaço faz parte do padrão e por isso é incluído na contagem.

ID Padrão	Padrão	Tamanho
1	DCC UFMG dollar	15
2	dia branco	10
3	Macunaima administration	24
4	Brazilian coffee	16
5	New York Stock Exchange	23
6	Manacapuru	10
7	Canada Treasury	15
8	Michael Gregory	15
9	price index	11
10	Uberaba	7

Tabela 4: Padrões utilizados para testes e respectivos tamanhos.

As Figuras 4 e 5 apresentam, respectivamente, o número de comparações e os tempos gastos para cada padrão apresentado na tabela 4, de acordo com o **ID do padrão**.

Com relação ao número de comparações, é possível notar que aparentemente não existe relação entre o tamanho do padrão e o número de comparações, pois de fato este parâmetro não impacta o desempenho do algoritmo. A maior diferença do número de comparações é entre o padrão **dia branco** e o padrão **Uberaba**, que chega próxima 80 mil comparações.

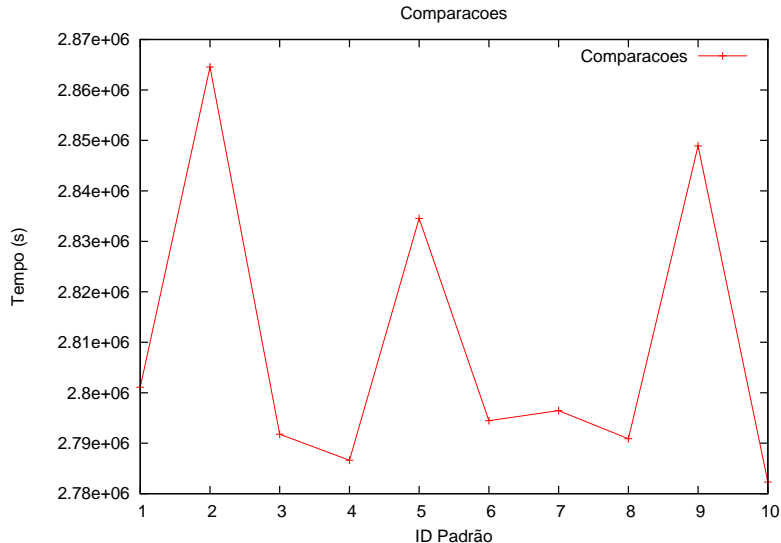


Figura 4: Programação Dinâmica: Comparações realizadas no arquivo **wsj89**, $k = 0$

Com relação ao tempo de processamento, também não há nenhum padrão de variação. Pode-se observar apenas que o tempo de processamento (**User Time** medido através das diretivas `time` do sistema Linux) permanece na faixa entre 0.103 e 0.114 segundos.

Uma das poucas informações úteis que se pode extrair dos gráficos das Figuras 4 e 5 é o fato de que o algoritmo é altamente dependente do padrão em questão,

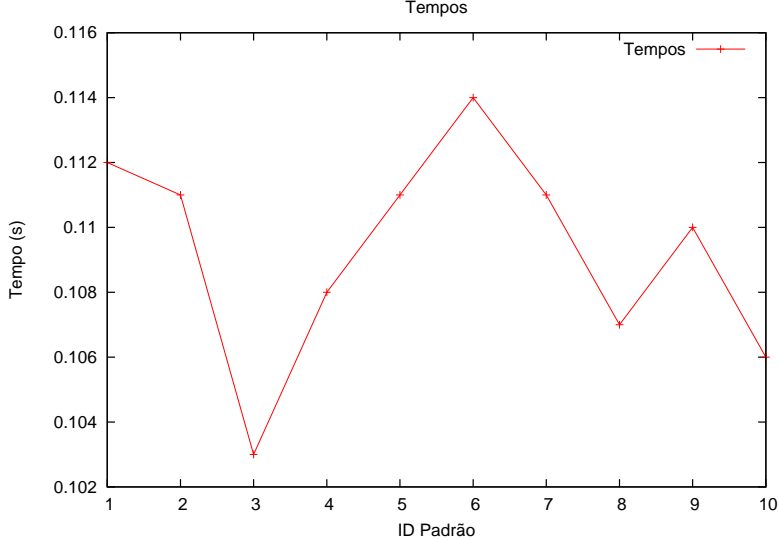


Figura 5: Programação Dinâmica: Tempo gasto para cada padrão. Busca no arquivo **wsj89**, $k = 0$

mas não do tamanho do padrão. É possível observar isso comparando o resultado do par (2,6) ou do trio (1, 7 e 8), apesar de cada conjunto ser de padrões com o mesmo tamanho. Tanto o número de comparações quanto o tempo de execução são bem diferentes entre eles. Isso acontece por que o algoritmo utiliza o artifício de não procurar um casamento com erro maior do que k . Este controle é feito através da variável `lact` do Algoritmo 1, e depende do padrão pois o casamento pode ocorrer em posições diferentes para padrões diferentes.

Como observa-se, resultados apresentados da maneira acima agregam pouquíssima informação. Por este motivo, não serão apresentados os gráficos para os demais valores de k e n . Serão apresentadas agora discussões sobre a variação do valor de k e n sobre o algoritmo. A variação destes parâmetros é interessante pois eles fazem parte da função de custo do algoritmo.

Variações no valor de n

O número de comparações realizadas pelo algoritmo de Sellers, segundo sua função de custo, é diretamente proporcional ao tamanho do arquivo. No presente trabalho, foram apresentados resultados para três arquivos diferentes, conforme apresentado na Seção 2.6.1.

Para montar a estrutura dos testes, foram tomadas as seguintes diretivas, de acordo com os resultados discutidos anteriormente:

- Para cada arquivo, foram escolhidos o menor padrão (**Uberaba**) e o maior padrão (**Macunaima administration**)
- Os dados serão apresentados de acordo com o tamanho dos arquivos.

As Figuras 6, 7, 8 e 9 apresentam o impacto com relação ao número de comparações e tempo de processamento de acordo com a variação do tamanho do arquivo.

Padrão	Real	Usuário	Sistema	Comparações
DCC UFMG dollar	0.038	0.112	0.003	2801084
dia branco	0.195	0.111	0.004	2864543
Macunaima administration	0.213	0.103	0.003	2791780
Brazilian coffee	0.215	0.108	0.003	2786630
New York Stock Exchange	0.439	0.111	0.002	2834554
Manacapuru	0.287	0.114	0.002	2794468
Canada Treasury	0.166	0.111	0.003	2796460
Michael Gregory	0.159	0.107	0.004	2790891
price index	0.202	0.110	0.003	2848901
Uberaba	0.153	0.106	0.001	2782324

Tabela 5: **Programação Dinâmica: Arquivo wsj89, $k = 0$.**

Padrão	Real	Usuário	Sistema	Comparações
DCC UFMG dollar	0.257	0.165	0.002	5612016
dia branco	0.256	0.173	0.003	5879690
Macunaima administration	0.413	0.172	0.001	5751011
Brazilian coffee	0.283	0.172	0.003	5725874
New York Stock Exchange	0.587	0.164	0.004	5870873
Manacapuru	0.388	0.175	0.004	5803084
Canada Treasury	0.221	0.169	0.002	5811393
Michael Gregory	0.225	0.169	0.003	5744281
price index	0.258	0.168	0.006	5834932
Uberaba	0.220	0.169	0.003	5608659

Tabela 6: **Programação Dinâmica: Arquivo wsj89, $k = 1$.**

Padrão	Real	Usuário	Sistema	Comparações
DCC UFMG dollar	0.587	0.204	0.005	8424604
dia branco	0.349	0.215	0.004	9147963
Macunaima administration	0.458	0.210	0.003	8771590
Brazilian coffee	0.321	0.203	0.006	8806785
New York Stock Exchange	0.832	0.218	0.007	9091997
Manacapuru	0.432	0.207	0.004	8902447
Canada Treasury	0.252	0.205	0.004	8923478
Michael Gregory	0.254	0.208	0.001	8768578
price index	0.603	0.214	0.006	8979012
Uberaba	0.605	0.205	0.004	8724065

Tabela 7: **Programação Dinâmica: Arquivo wsj89, $k = 2$.**

Padrão	Real	Usuário	Sistema	Comparações
DCC UFMG dollar	0.341	0.244	0.005	11694911
dia branco	0.803	0.294	0.003	12743293
Macunaima administration	0.507	0.259	0.005	11888707
Brazilian coffee	0.364	0.258	0.003	11921951
New York Stock Exchange	1.022	0.286	0.005	12647783
Manacapuru	0.482	0.254	0.006	12013407
Canada Treasury	0.535	0.266	0.004	12067243
Michael Gregory	0.321	0.259	0.002	11894984
price index	1.210	0.270	0.004	12299073
Uberaba	1.129	0.258	0.009	11939084

Tabela 8: **Programação Dinâmica: Arquivo wsj89, $k = 3$.**

Padrão	Real	Usuário	Sistema	Comparações
DCC UFMG dollar	1.717	0.734	0.088	20065358
dia branco	0.780	0.743	0.016	20644029
Macunaima administration	1.021	0.977	0.015	20081696
Brazilian coffee	0.769	0.721	0.014	20062306
New York Stock Exchange	3.457	0.789	0.022	20422944
Manacapuru	0.843	0.732	0.016	20086370
Canada Treasury	0.808	0.723	0.011	20139532
Michael Gregory	0.800	0.732	0.019	20098150
price index	3.256	0.773	0.018	20535112
Uberaba	0.815	0.715	0.012	20022550

Tabela 9: **Programação Dinâmica: Arquivo wsj88_20, $k = 0$.**

Padrão	Real	Usuário	Sistema	Comparações
DCC UFMG dollar	1.218	1.199	0.010	40260601
dia branco	1.278	1.218	0.012	42421769
Macunaima administration	1.252	1.198	0.013	41421080
Brazilian coffee	1.217	1.160	0.012	41247304
New York Stock Exchange	5.075	1.239	0.031	42307786
Manacapuru	1.339	1.195	0.024	41795314
Canada Treasury	1.302	1.204	0.011	41898173
Michael Gregory	1.278	1.201	0.014	41408518
price index	4.387	1.241	0.018	42076793
Uberaba	1.317	1.189	0.019	40376356

Tabela 10: **Programação Dinâmica: Arquivo wsj88_20, $k = 1$.**

Padrão	Real	Usuário	Sistema	Comparações
DCC UFMG dollar	1.416	1.401	0.010	60447021
dia branco	1.645	1.556	0.013	66085542
Macunaima administration	1.524	1.446	0.018	63225387
Brazilian coffee	1.561	1.440	0.018	63487023
New York Stock Exchange	6.390	1.581	0.031	65528476
Manacapuru	1.605	1.472	0.011	64175681
Canada Treasury	1.609	1.496	0.012	64373127
Michael Gregory	1.561	1.459	0.022	63248323
price index	5.677	1.520	0.028	64799627
Uberaba	2.811	1.452	0.023	62879741

Tabela 11: **Programação Dinâmica: Arquivo wsj88_20, $k = 2$.**

Padrão	Real	Usuário	Sistema	Comparações
DCC UFMG dollar	1.761	1.697	0.018	84066810
dia branco	5.453	2.055	0.023	92169907
Macunaima administration	1.979	1.826	0.015	85737561
Brazilian coffee	2.013	1.824	0.016	85980729
New York Stock Exchange	7.912	2.034	0.030	91284692
Manacapuru	1.960	1.809	0.018	86645957
Canada Treasury	2.567	1.849	0.019	87082783
Michael Gregory	1.959	1.810	0.020	85849679
price index	4.556	1.985	0.020	88846839
Uberaba	9.320	1.792	0.044	86117848

Tabela 12: **Programação Dinâmica: Arquivo wsj88_20, $k = 3$.**

Padrão	Real	Usuário	Sistema	Comparações
DCC UFMG dollar	10.928	3.956	0.491	108276133
dia branco	4.191	3.958	0.076	111418775
Macunaima administration	4.295	3.958	0.086	108371736
Brazilian coffee	4.531	3.927	0.064	108285732
New York Stock Exchange	9.237	4.313	0.159	110364886
Manacapuru	4.292	3.963	0.068	108399474
Canada Treasury	4.489	3.921	0.064	108711134
Michael Gregory	4.273	3.908	0.083	108427025
price index	11.147	4.220	0.108	110799796
Uberaba	4.141	3.880	0.064	108049495

Tabela 13: **Programação Dinâmica: Arquivo wsj88, $k = 0$.**

Padrão	Real	Usuário	Sistema	Comparações
DCC UFMG dollar	6.858	6.407	0.080	217263374
dia branco	6.795	6.581	0.071	228951380
Macunaima administration	6.943	6.470	0.083	223574092
Brazilian coffee	7.368	6.441	0.085	222634568
New York Stock Exchange	17.590	6.591	0.148	228488314
Manacapuru	7.414	6.492	0.064	225621454
Canada Treasury	6.960	6.480	0.094	226205374
Michael Gregory	6.998	6.453	0.093	223420787
price index	23.703	6.632	0.091	227050696
Uberaba	6.773	6.422	0.072	217859696

Tabela 14: **Programação Dinâmica: Arquivo wsj88, $k = 1$.**

Padrão	Real	Usuário	Sistema	Comparações
DCC UFMG dollar	8.107	7.603	0.088	326191544
dia branco	9.559	8.369	0.089	356702381
Macunaima administration	8.462	7.850	0.091	341273210
Brazilian coffee	8.500	7.880	0.084	342708359
New York Stock Exchange	15.132	8.562	0.160	353799226
Manacapuru	11.723	7.998	0.087	346444289
Canada Treasury	8.773	7.999	0.074	347539458
Michael Gregory	10.802	7.907	0.103	341262865
price index	23.339	8.216	0.123	349693752
Uberaba	16.147	7.803	0.109	339292500

Tabela 15: **Programação Dinâmica: Arquivo wsj88, $k = 2$.**

Padrão	Real	Usuário	Sistema	Comparações
DCC UFMG dollar	9.526	9.107	0.080	453669108
dia branco	19.024	11.141	0.112	497469213
Macunaima administration	10.607	9.895	0.078	462794935
Brazilian coffee	11.784	9.969	0.101	464156295
New York Stock Exchange	37.741	10.849	0.191	492789764
Manacapuru	12.252	9.888	0.084	467746593
Canada Treasury	15.535	10.729	0.098	470161104
Michael Gregory	10.291	9.799	0.074	463207571
price index	39.849	10.567	0.162	479460570
Uberaba	27.348	10.084	0.242	464751894

Tabela 16: **Programação Dinâmica: Arquivo wsj88, $k = 3$.**

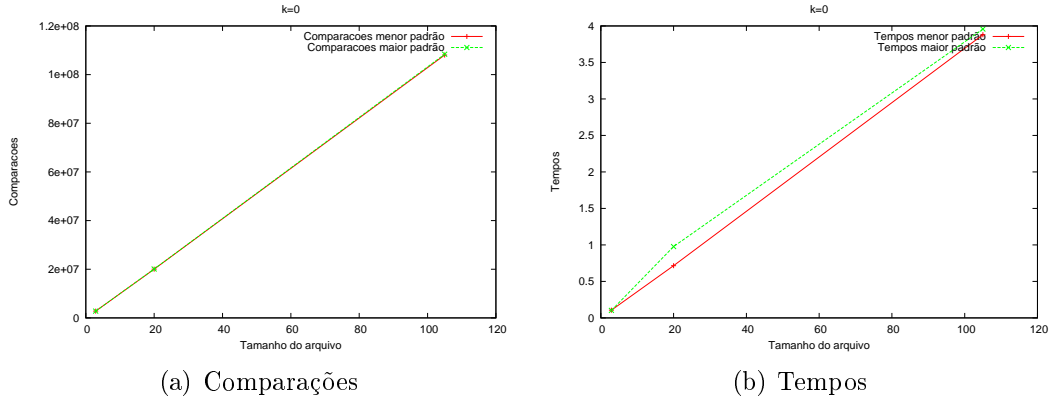


Figura 6: Programação Dinâmica. Variação do tamanho do arquivo para $k = 0$.

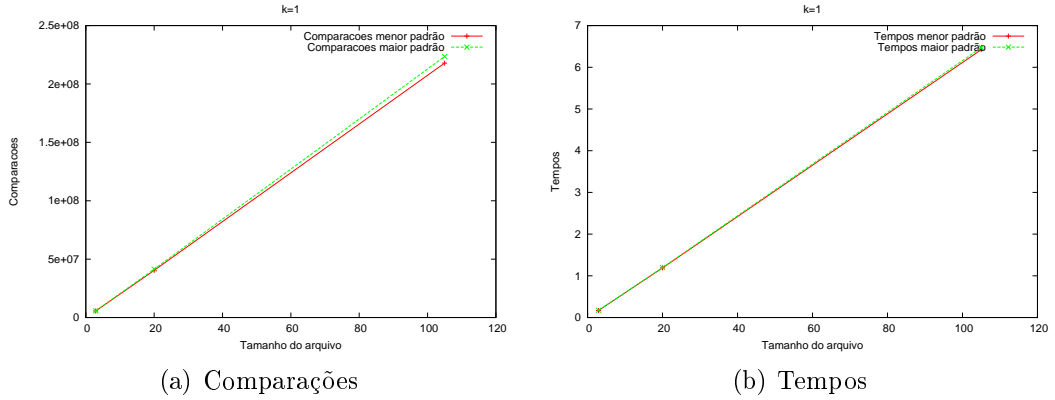


Figura 7: Programação Dinâmica. Variação do tamanho do arquivo para $k = 1$.

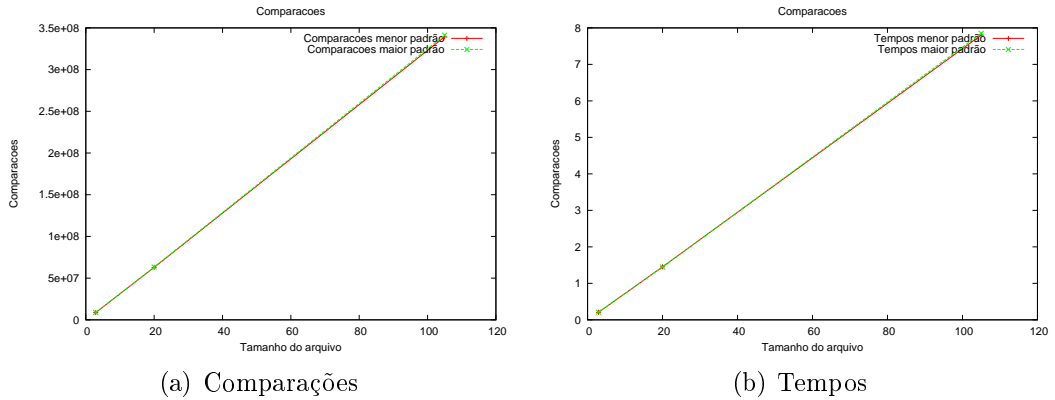


Figura 8: Programação Dinâmica. Variação do tamanho do arquivo para $k = 2$.

As seguintes conclusões podem ser tomadas a partir dos gráficos acima citados e dos resultados das Tabelas:

- O desempenho do algoritmo é de fato diretamente proporcional de acordo com o valor de n . O crescimento do número de comparações e do tempo de processamento é linear com relação ao tamanho do arquivo.
- O algoritmo, como já havia sido discutido acima, é praticamente indiferente ao tamanho do padrão. Apesar de ser dependente de um padrão específico,

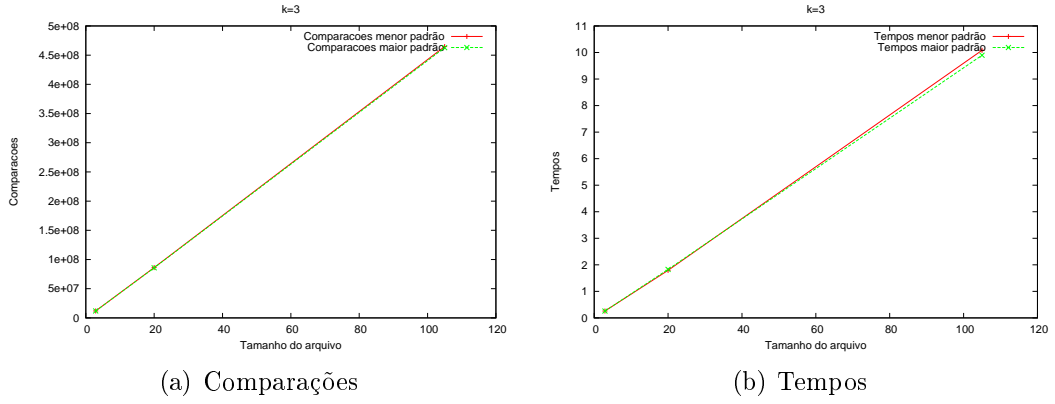


Figura 9: Programação Dinâmica. Variação do tamanho do arquivo para $k = 3$.

o valor do número de comparações e do tempo de processamento é sempre próximo quando se trata o mesmo valor de k .

Variações no valor de k

Nesta bateria de testes, o valor de n será mantido fixo e será alterado o valor de k (o número de erros permitidos). Os testes serão feitos da mesma maneira como o anterior, considerando os valores para o maior padrão e também para o menor padrão do conjunto de padrões da Tabela 4.

O resultado obtido segue nas Figuras 10, 11 e 12.

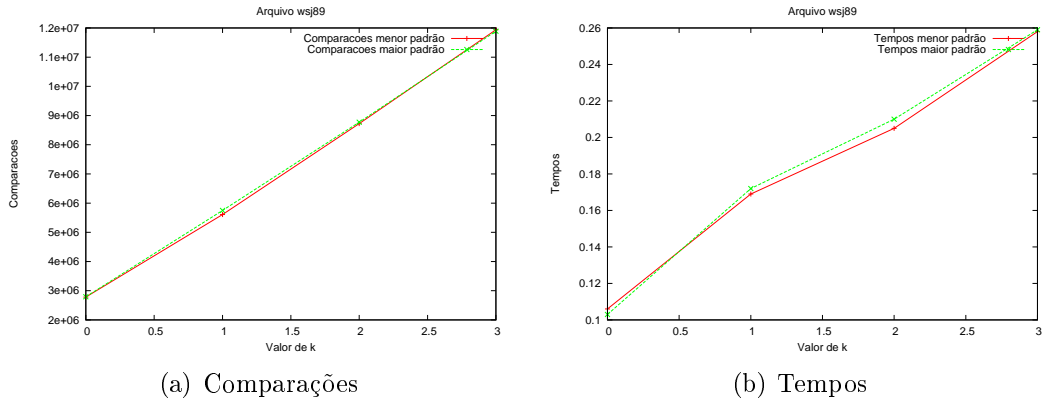


Figura 10: Programação Dinâmica. Variação do valor de k para o arquivo wsj89.

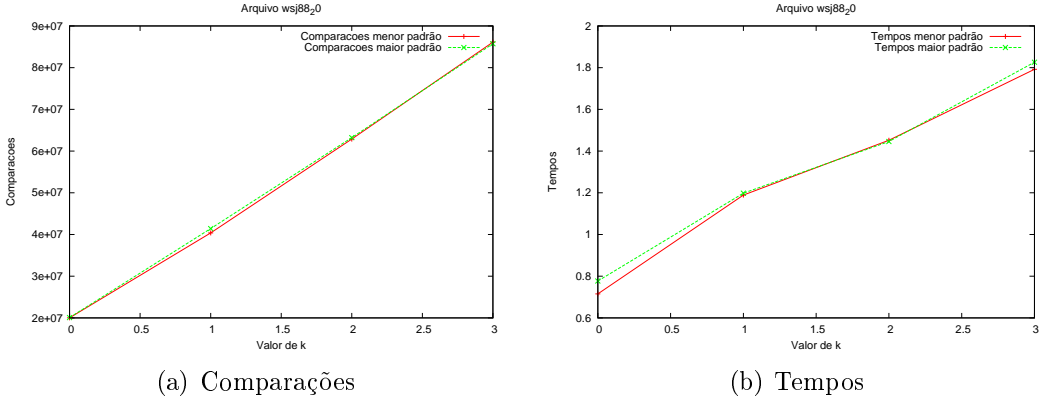


Figura 11: Programação Dinâmica. Variação do valor de k para o arquivo wsj88_20.

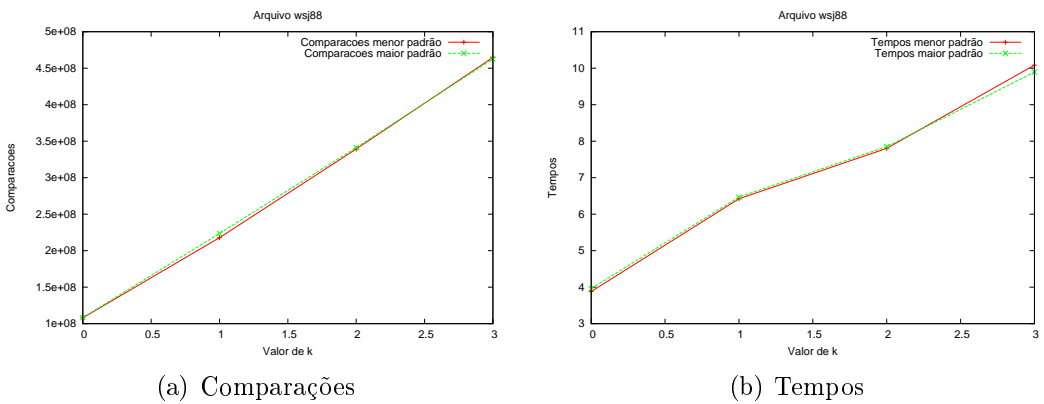


Figura 12: Programação Dinâmica. Variação do valor de k para o arquivo wsj88.

Estes novos gráficos permitem as seguintes conclusões:

- O desempenho do algoritmo é praticamente linear com relação ao valor de k , o que já era esperado de acordo com a análise feita na Seção 2.3.
- Foi possível revalidar a observação de que o desempenho do algoritmo é indiferente com relação ao tamanho do padrão.

2.6.3 Resultados do Shift-And

Os resultados obtidos pelo Shift-And podem ser visualizados através da seguintes tabelas:

- As Tabelas 17, 18, 19 e 20 reportam os resultados obtidos pelo algoritmo Shift-And para o casamento aproximado dos padrões contidos na Tabela 4 para o arquivo wsj89 para os diferentes valores de k .
- As Tabelas 21, 22, 23 e 24 reportam os resultados obtidos considerando o arquivo wsj88_20 e os valores de k .
- Finalmente, as Tabelas 25, 26, 27 e 28 reportam resultados similares, mas para o arquivo wsj88.

Padrão	Real	Usuário	Sistema	Comparações
DCC UFMG dollar	0.995	0.897	0.002	2778109
dia branco	1.167	0.888	0.005	2778109
Macunaima administration	1.137	0.889	0.003	2778109
Brazilian coffee	0.997	0.888	0.005	2778109
New York Stock Exchange	3.981	0.910	0.009	2778109
Manacapuru	1.948	0.899	0.006	2778109
Canada Treasury	1.003	0.888	0.005	2778109
Michael Gregory	1.000	0.893	0.005	2778109
price index	0.998	0.886	0.007	2778109
Uberaba	1.024	0.890	0.010	2778109

Tabela 17: **Shift-And:** Arquivo **wsj89**, $k = 0$.

Padrão	Real	Usuário	Sistema	Comparações
DCC UFMG dollar	1.049	0.931	0.004	5556218
dia branco	1.037	0.925	0.003	5556218
Macunaima administration	1.178	0.923	0.005	5556218
Brazilian coffee	1.033	0.925	0.004	5556218
New York Stock Exchange	3.944	0.936	0.007	5556218
Manacapuru	1.893	0.927	0.008	5556218
Canada Treasury	1.037	0.924	0.004	5556218
Michael Gregory	1.088	0.916	0.007	5556218
price index	1.033	0.921	0.006	5556218
Uberaba	1.040	0.925	0.003	5556218

Tabela 18: **Shift-And:** Arquivo **wsj89**, $k = 1$.

Padrão	Real	Usuário	Sistema	Comparações
DCC UFMG dollar	1.095	0.985	0.002	8334327
dia branco	1.094	0.977	0.005	8334327
Macunaima administration	1.235	0.979	0.003	8334327
Brazilian coffee	1.087	0.974	0.006	8334327
New York Stock Exchange	4.250	0.990	0.014	8334327
Manacapuru	2.101	0.980	0.008	8334327
Canada Treasury	1.090	0.972	0.006	8334327
Michael Gregory	1.085	0.976	0.003	8334327
price index	1.392	0.974	0.007	8334327
Uberaba	1.635	0.976	0.007	8334327

Tabela 19: **Shift-And:** Arquivo **wsj89**, $k = 2$.

Padrão	Real	Usuário	Sistema	Comparações
DCC UFMG dollar	1.141	1.014	0.008	11112436
dia branco	1.655	1.009	0.005	11112436
Macunaima administration	1.255	1.002	0.008	11112436
Brazilian coffee	1.148	1.009	0.003	11112436
New York Stock Exchange	4.243	1.030	0.003	11112436
Manacapuru	2.165	1.012	0.007	11112436
Canada Treasury	1.376	1.005	0.009	11112436
Michael Gregory	1.132	1.011	0.003	11112436
price index	3.654	1.028	0.008	11112436
Uberaba	4.040	1.015	0.005	11112436

Tabela 20: Shift-And: Arquivo wsj89, $k = 3$.

Padrão	Real	Usuário	Sistema	Comparações
DCC UFMG dollar	7.222	6.806	0.023	20000341
dia branco	7.058	6.823	0.018	20000341
Macunaima administration	7.053	6.812	0.024	20000341
Brazilian coffee	7.297	6.817	0.018	20000341
New York Stock Exchange	16.640	6.944	0.045	20000341
Manacapuru	7.109	6.807	0.027	20000341
Canada Treasury	7.110	6.817	0.024	20000341
Michael Gregory	7.338	6.829	0.022	20000341
price index	11.557	6.851	0.032	20000341
Uberaba	7.119	6.814	0.020	20000341

Tabela 21: Shift-And: Arquivo wsj88_20, $k = 0$.

Padrão	Real	Usuário	Sistema	Comparações
DCC UFMG dollar	8.366	7.085	0.032	40000682
dia branco	7.619	7.117	0.022	40000682
Macunaima administration	7.292	7.044	0.024	40000682
Brazilian coffee	8.386	7.059	0.025	40000682
New York Stock Exchange	9.023	7.205	0.036	40000682
Manacapuru	7.775	7.041	0.027	40000682
Canada Treasury	7.504	7.065	0.026	40000682
Michael Gregory	10.571	7.087	0.033	40000682
price index	12.031	7.120	0.048	40000682
Uberaba	7.371	7.064	0.018	40000682

Tabela 22: Shift-And: Arquivo wsj88_20, $k = 1$.

Padrão	Real	Usuário	Sistema	Comparações
DCC UFMG dollar	7.850	7.438	0.027	60001023
dia branco	7.981	7.455	0.015	60001023
Macunaima administration	7.693	7.446	0.026	60001023
Brazilian coffee	9.820	7.454	0.055	60001023
New York Stock Exchange	23.435	7.581	0.058	60001023
Manacapuru	9.222	7.437	0.030	60001023
Canada Treasury	8.064	7.440	0.023	60001023
Michael Gregory	7.972	7.446	0.021	60001023
price index	11.721	7.489	0.053	60001023
Uberaba	11.990	7.576	0.042	60001023

Tabela 23: Shift-And: Arquivo `wsj88_20`, $k = 2$.

Padrão	Real	Usuário	Sistema	Comparações
DCC UFMG dollar	8.256	7.693	0.043	80001364
dia branco	11.336	7.729	0.037	80001364
Macunaima administration	8.027	7.697	0.029	80001364
Brazilian coffee	8.121	7.692	0.024	80001364
New York Stock Exchange	18.081	7.845	0.066	80001364
Manacapuru	9.552	7.702	0.022	80001364
Canada Treasury	8.580	7.702	0.024	80001364
Michael Gregory	8.002	7.692	0.021	80001364
price index	15.316	7.832	0.061	80001364
Uberaba	23.430	7.784	0.081	80001364

Tabela 24: Shift-And: Arquivo `wsj88_20`, $k = 3$.

A discussão será iniciada com a variação do parâmetro n .

Variação no valor de n

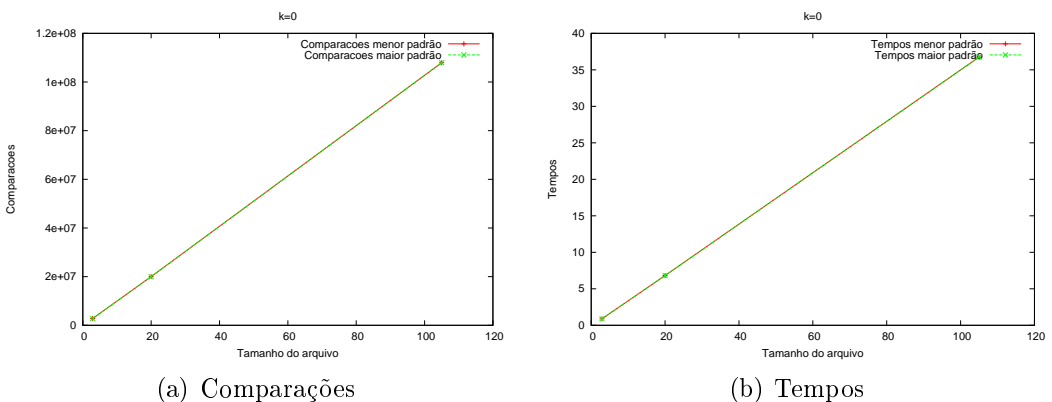


Figura 13: Shiftand. Variação do tamanho do arquivo para $k = 0$.

Padrão	Real	Usuário	Sistema	Comparações
DCC UFMG dollar	38.928	36.654	0.141	107926315
dia branco	39.847	36.612	0.164	107926315
Macunaima administration	40.647	36.740	0.160	107926315
Brazilian coffee	38.743	36.611	0.160	107926315
New York Stock Exchange	97.684	37.413	0.258	107926315
Manacapuru	43.381	36.672	0.155	107926315
Canada Treasury	39.558	36.484	0.144	107926315
Michael Gregory	47.393	36.782	0.175	107926315
price index	45.026	36.856	0.193	107926315
Uberaba	40.332	36.744	0.159	107926315

Tabela 25: **Shift-And:** Arquivo **wsj88**, $k = 0$.

Padrão	Real	Usuário	Sistema	Comparações
DCC UFMG dollar	43.775	37.976	0.170	215852630
dia branco	39.901	37.874	0.149	215852630
Macunaima administration	43.289	38.089	0.193	215852630
Brazilian coffee	42.485	38.039	0.169	215852630
New York Stock Exchange	63.725	39.057	0.319	215852630
Manacapuru	44.455	38.117	0.166	215852630
Canada Treasury	41.401	38.006	0.142	215852630
Michael Gregory	42.179	38.054	0.157	215852630
price index	45.695	38.219	0.173	215852630
Uberaba	44.104	38.090	0.182	215852630

Tabela 26: **Shift-And:** Arquivo **wsj88**, $k = 1$.

Padrão	Real	Usuário	Sistema	Comparações
DCC UFMG dollar	44.923	40.091	0.188	323778945
dia branco	45.699	40.110	0.169	323778945
Macunaima administration	44.768	40.091	0.162	323778945
Brazilian coffee	46.271	40.025	0.165	323778945
New York Stock Exchange	60.278	40.683	0.251	323778945
Manacapuru	42.141	39.788	0.123	323778945
Canada Treasury	51.309	39.917	0.170	323778945
Michael Gregory	50.288	39.863	0.173	323778945
price index	53.265	40.015	0.195	323778945
Uberaba	49.417	39.849	0.177	323778945

Tabela 27: **Shift-And:** Arquivo **wsj88**, $k = 2$.

Padrão	Real	Usuário	Sistema	Comparações
DCC UFMG dollar	42.939	40.718	1.029	431705260
dia branco	45.671	40.672	0.162	431705260
Macunaima administration	42.191	40.637	0.097	431705260
Brazilian coffee	43.225	40.684	0.138	431705260
New York Stock Exchange	42.558	40.550	0.250	431705260
Manacapuru	41.492	40.576	0.086	431705260
Canada Treasury	43.317	40.723	0.152	431705260
Michael Gregory	41.689	40.638	0.109	431705260
price index	44.598	40.701	0.252	431705260
Uberaba	44.061	40.679	0.431	431705260

Tabela 28: **Shift-And:** Arquivo **wsj88**, $k = 3$.

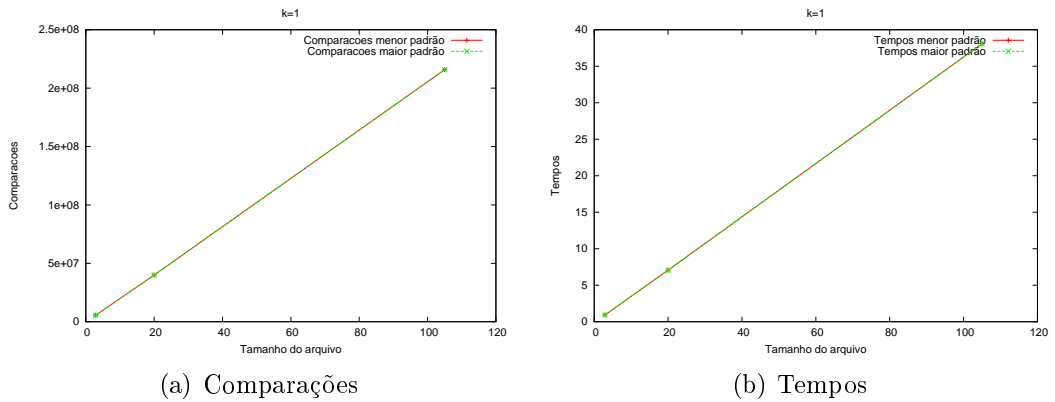


Figura 14: Shiftand. Variação do tamanho do arquivo para $k = 1$.

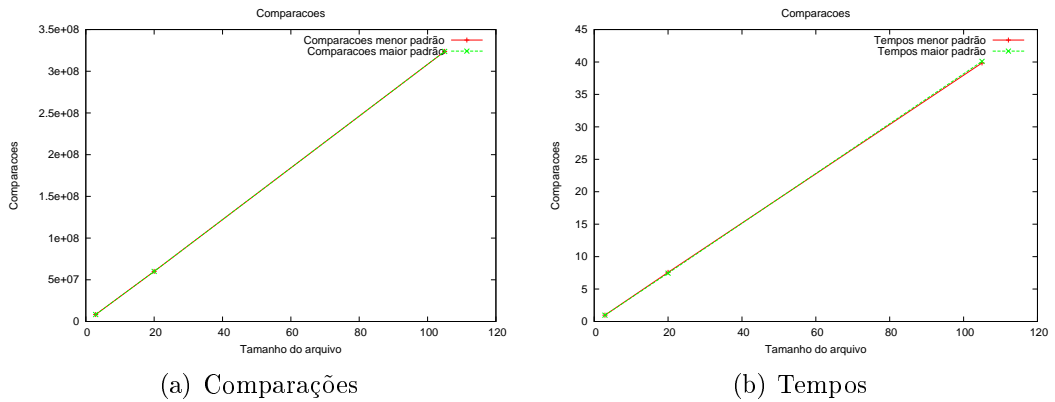


Figura 15: Shiftand. Variação do tamanho do arquivo para $k = 2$.

As Figuras 13, 14, 15 e 16 apresentam o impacto no desempenho do algoritmo quando se aumenta o tamanho do arquivo.

Estes dados revelam o seguinte comportamento para o Shift-And:

- O número de comparações e o tempo de processamento de fato crescem linearmente de acordo com o tamanho do arquivo de entrada

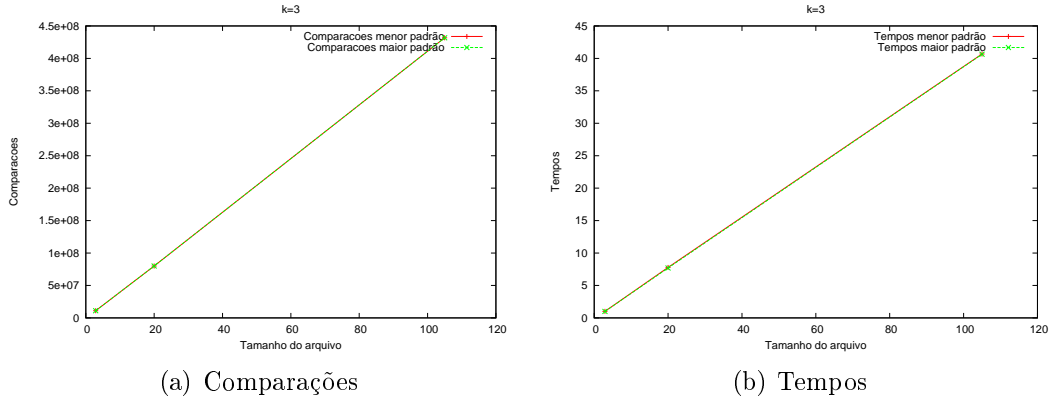


Figura 16: Shiftand. Variação do tamanho do arquivo para $k = 3$.

- O algoritmo é totalmente independente do padrão. De fato, como pode ser observado nas Tabelas, o número de comparações realizadas para o mesmo arquivo e para o mesmo valor de k é constante para todos os padrões. Isso pode ser visto nos gráficos, dado que as curvas dos 2 padrões são sobrepostas.

Variação no valor de k

O resultado obtido segue nas Figuras 17, 18 e 19.

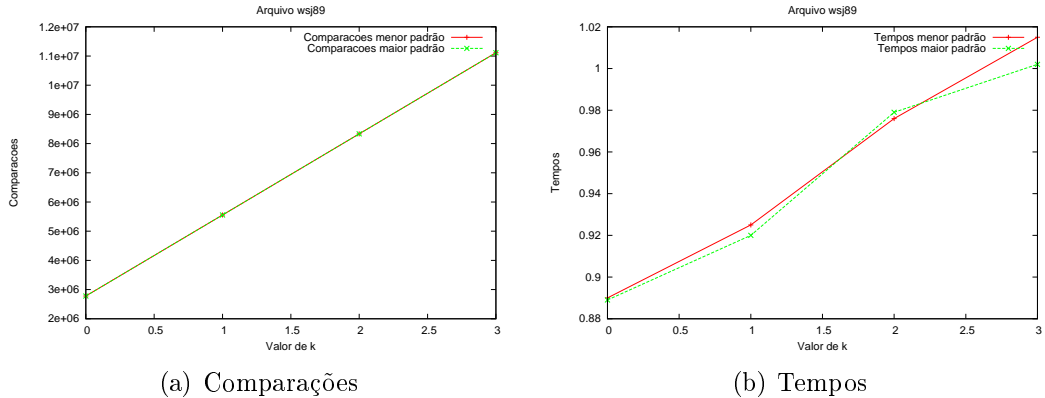


Figura 17: Shiftand. Variação do valor de k para o arquivo `wsj89`.

Novamente, observa-se a independência do algoritmo com relação ao tamanho do padrão para o número de comparações. Existem algumas variações no tempo de processamento que podem ser justificadas por necessidade de E/S.

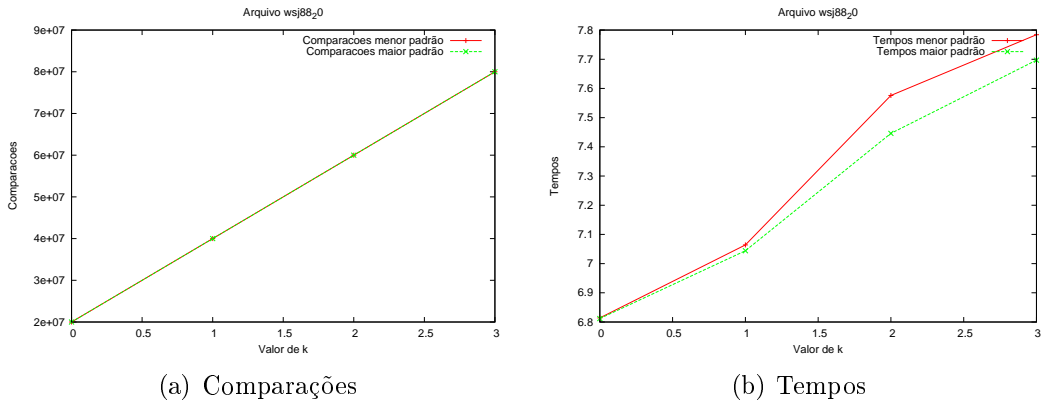


Figura 18: Shiftand. Variação do valor de k para o arquivo wsj88_20.

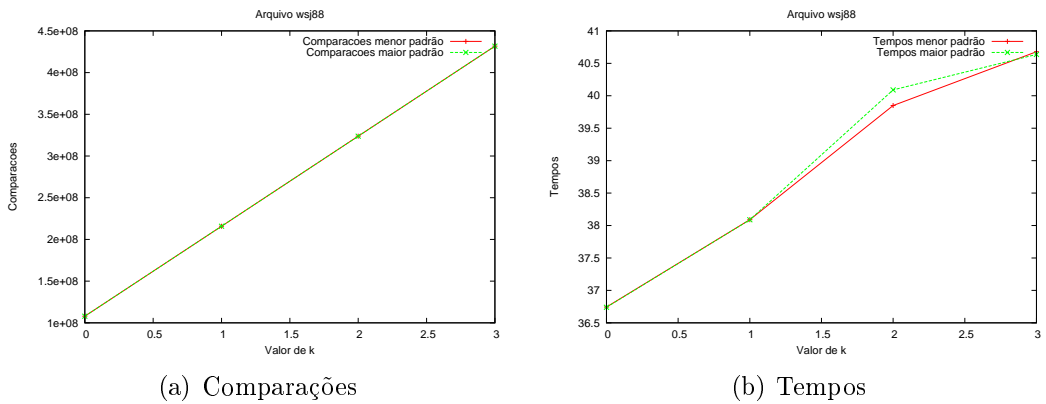


Figura 19: Shiftand. Variação do valor de k para o arquivo wsj88.

2.6.4 Comparações Sellers x Shift-And

O objetivo desta Seção é prover uma análise comparativa dos dois algoritmos, com base no arcabouço de informações levantadas nas Seções anteriores. A discussão será iniciada analisando-se a variação no tamanho do arquivo de entrada.

Variação no valor de n

As Figuras 20, 21, 22 e 23 apresentam resultados comparativos para a variação do tamanho do arquivo de entrada mantendo-se o valor de k constante.

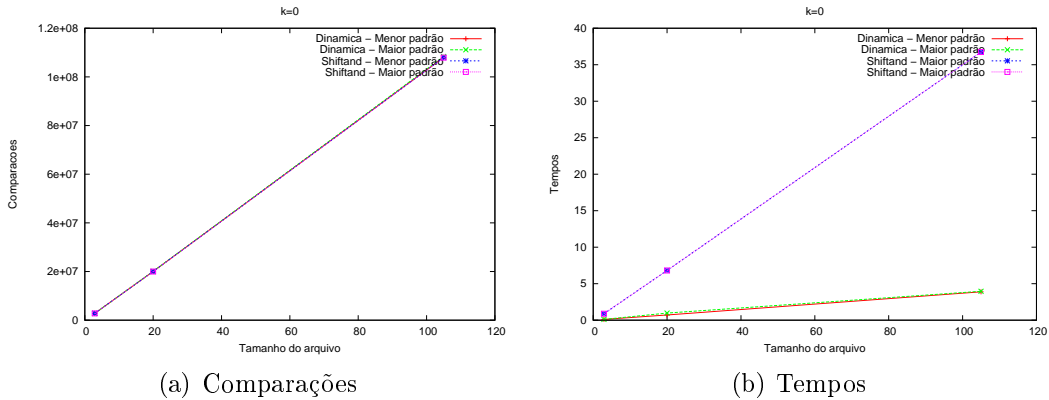


Figura 20: Sellers x Shiftand. Variação do tamanho do arquivo para $k = 0$.

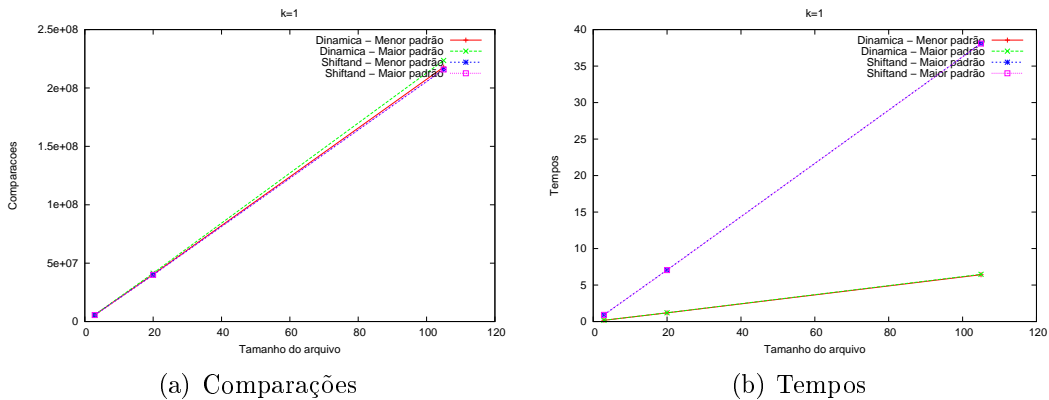


Figura 21: Sellers x Shiftand. Variação do tamanho do arquivo para $k = 1$.

A partir da análise dos gráficos que consideram a variação de n (e considerando as decisões de projeto da Seção 1), pode-se concluir que:

1. O **número de comparações** realizadas pelo algoritmo de Programação Dinâmica de Sellers e pelo Shift-And está na mesma ordem de grandeza. Os valores são muito próximos, como ilustrado pelas Figuras 20(a), 21(a), 22(a) e 23(a). Este resultado era esperado, pois com relação ao número de comparações, ambos os algoritmos são $O(kn)$ ⁴.

⁴Os termos n e $|T|$ serão usadas como sinônimos durante todo este texto.

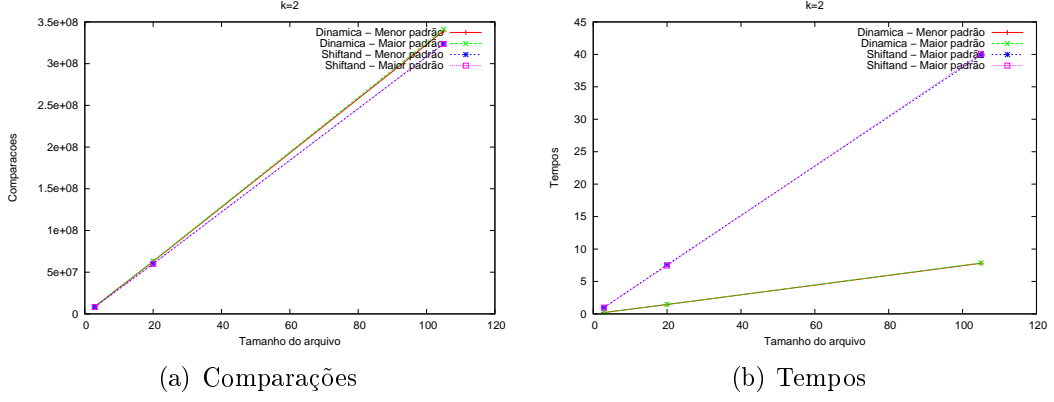


Figura 22: Sellers x Shiftand. Variação do tamanho do arquivo para $k = 2$.

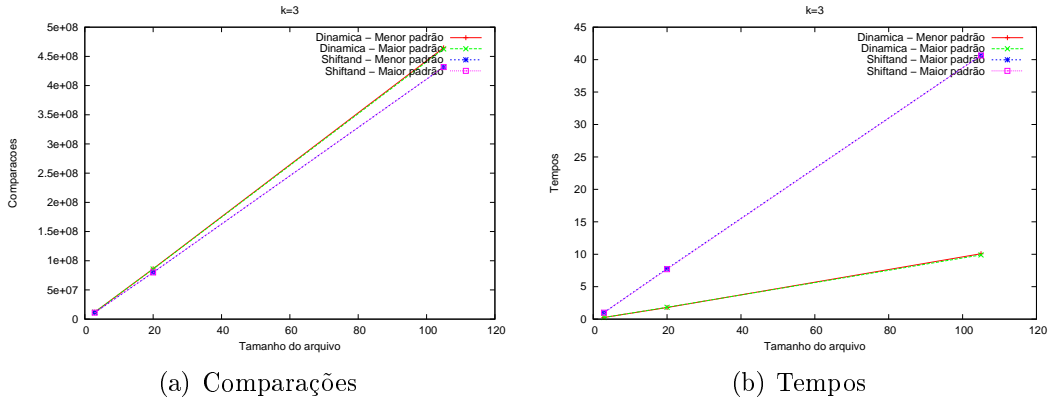


Figura 23: Sellers x Shiftand. Variação do tamanho do arquivo para $k = 3$.

2. Com relação ao **tempo de processamento**, o Shift-And foi bem inferior ao algoritmo de Sellers. Apesar de ambos realizarem praticamente o mesmo número de comparações, provavelmente as iterações do Shift-And são mais caras do que as iterações de Sellers.

Variação no valor de k

As Figuras 24, 25 e 26 apresentam os resultados considerando cada arquivo individualmente e variando-se o valor de k .

É fácil verificar a superioridade do algoritmo de Sellers quando o tamanho de k aumenta. Em todos os casos, o tempo de processamento é muitas vezes menor. A razão entre os tempos chega a ser 10, em alguns casos.

Estes testes confirmam a superioridade do algoritmo de Sellers sobre o Shift-And.

2.6.5 Parte I – Conclusões gerais

Finalizada a primeira parte do trabalho, obteve-se como conclusões gerais:

- Foi verificada a superioridade do Algoritmo de Programação Dinâmica de Sellers sobre o Shift-And. Provavelmente esta superioridade se deve à simplicidade do algoritmo de Sellers, dado que ambos os algoritmos possuem a mesma

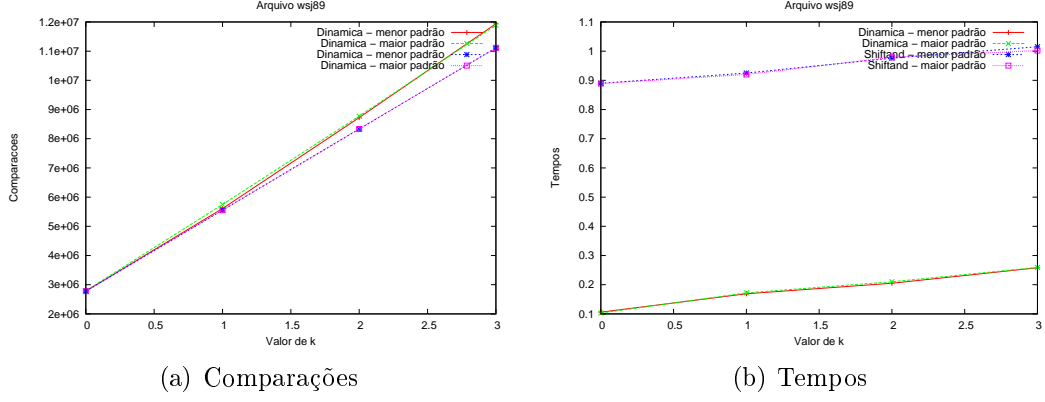


Figura 24: Sellers x Shiftand. Variação do valor de k para o arquivo wsj89.

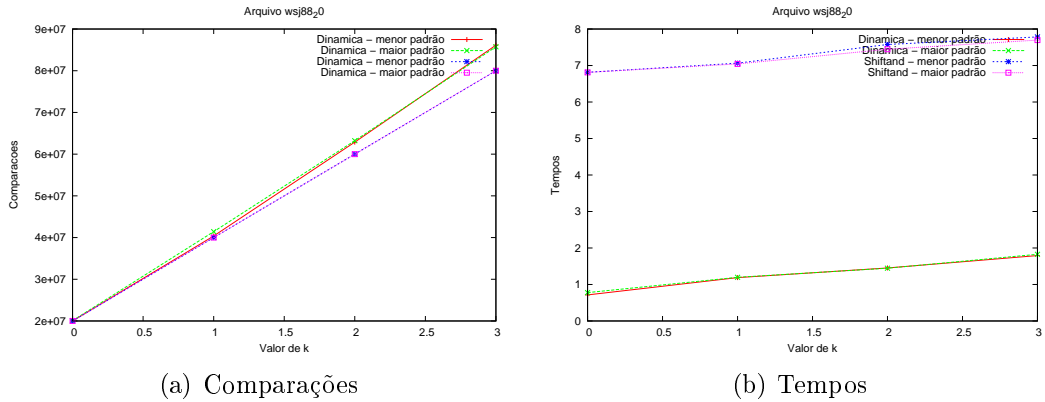


Figura 25: Sellers x Shiftand. Variação do valor de k para o arquivo wsj88_20.

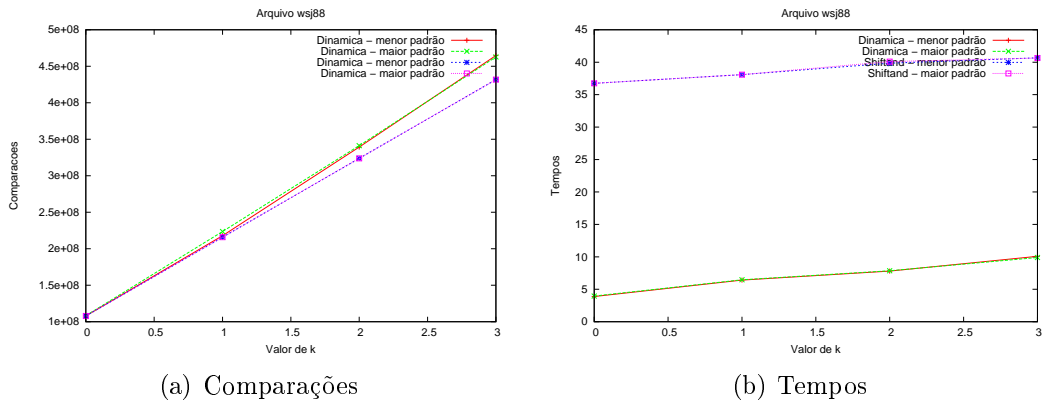


Figura 26: Sellers x Shiftand. Variação do valor de k para o arquivo wsj88.

função de custo para o número de comparações. Um outro algoritmo de Programação Dinâmica para o mesmo problema, como o citado por Navarro em [1] provavelmente seria pior do que o Shift-And pois o algoritmo itera sobre uma matriz, com custo $O(|P||T|)$.

- Foi possível utilizar a proposta de Baeza-Yates, citada por Ziviani [4]: de que é interessante comparar o tempo de relógio de dois algoritmos quando a função de custo de ambos é da mesma ordem. Os dois algoritmos investigados

possuem função de complexidade igual a $O(kn)$. Entretanto, um dos dois revelou-se muito mais interessante do que outros, em todos os cenários e em praticamente todos os quesitos.

3 Busca exata de padrões

3.1 Revisão das Decisões de Projeto

Neste momento, é importante revisar algumas decisões de projeto pois algumas das premissas adotadas serão alteradas devido a características próprias dos algoritmos. As principais modificações são:

- No algoritmo de Huffman é necessário que todo o texto fique em memória durante o procedimento de busca. Isto ocorre porque não é possível pegar blocos do texto comprimido e passá-los para o BMH. Por exemplo, caso seja determinado que sempre será buscado um bloco de mil unidades (sejam elas bits ou bytes), pode-se cortar um código no meio e gerar inconsistência nos códigos do arquivo binário. Isto exigiria uma alteração nas decisões de projeto apresentadas na Seção 1, para manter um processo de comparação justo entre o BMH que busca no arquivo comprimido e o BMH que busca no texto normal, dado que em um o texto é inicialmente carregado e depois se encontra em memória e no outro o texto é lido por linhas. Por isso, optou-se pela seguinte estratégia:
 - A implementação do **algoritmo de Huffman** será mantida. Carrega-se o arquivo da memória e em seguida opera-se sobre ele todo.
 - Serão **implementados dois algoritmos BMH**: o primeiro deles (que será chamado a partir de agora de $BMH\alpha$) irá trabalhar seguindo as diretrizes de projeto apresentadas na Seção 1. Uma segunda implementação ($BMH\beta$) irá trabalhar da seguinte maneira: irá carregar todo o arquivo para a memória e em seguida irá realizar a busca no arquivo. Desta maneira, pretende-se verificar a implementação mais eficiente, não somente em termos de tempo de processamento, mas também em termos de tempos de sistema e tempo real gastos pela aplicação.
- A interface com o usuário também será alterada. No caso do $BMH\beta$, serão impressas todas as linhas onde o padrão aparece, independentemente de quantas vezes o padrão aparece. Isto é, se o padrão aparece duas vezes em uma linha, então a linha será impressa duas vezes. No caso do BMH aplicado sobre o texto comprimido, será impressa apenas a **posição onde o padrão acontece no texto**.

Na Seção seguinte é apresentado o algoritmo Boyer-Moore-Horspool, para busca exata em texto. Serão apresentadas as duas abordagens: busca em arquivo não-comprimido e busca em arquivo comprimido.

3.2 Busca exata em texto não comprimido usando o BMH

Boyer e Moore apresentaram em 1977 o algoritmo que ficou conhecido como BM. Em 1980, Hoorspool apresentou uma simplificação e o algoritmo passou a ser conhecido como BMH. Em 1990, Sunday apresentou uma outra simplificação e o algoritmo passou a ser conhecido como BMHS.

A idéia central do algoritmo é pesquisar no sentido da direita para a esquerda, o que o torna muito mais rápido. O padrão P desliza em uma janela do texto T . Para cada posição desta janela, o algoritmo pesquisa por um sufixo da janela que casa com um sufixo do padrão P por meio de comparações realizadas da direita para a esquerda. Se há uma igualdade, então houve um casamento. Caso contrário, o algoritmo computa um deslocamento em que o padrão deve ser deslizado para a direita, para iniciar uma nova tentativa de casamento.

Originalmente, no algoritmo BM, existiam duas heurísticas para calcular o deslocamento:

- Heurística da ocorrência: alinha a posição do texto que causou a colisão com o primeiro caractere no padrão que casa com ele.
- Heurística do casamento: ao mover o padrão para a direita, ele casa com o pedaço do texto anteriormente usado.

O algoritmo pode executar as duas heurísticas e decidir em tempo de execução qual será a que provocará o maior salto do padrão dentro do texto. Entretanto, a comparação necessária para realizar esta escolha pode penalizar o tempo de processamento do algoritmo. Ao longo dos anos, foram obtidos melhores resultados de pesquisa considerando apenas a heurística da ocorrência.

Foi nesse contexto que apareceu o trabalho de Hoorspool, que incluiu no algoritmo BM original um procedimento de pré-computação do padrão para computar a tabela de deslocamentos.

Em seguida, houve a simplificação proposta por Sunday em 1990. A principal alteração é relativa ao pré-processamento do padrão e construção da tabela de deslocamentos. De fato, o corpo principal do algoritmo não sofreu qualquer modificação. Por esse motivo, no presente trabalho será utilizado o algoritmo BMH, sem as alterações propostas por Sunday.

O algoritmo 3 apresenta o BMH em alto nível.

3.2.1 Complexidade do BMH

Conforme apresentado por Ziviani [4], o pior caso do algoritmo é $O(|P||T|)$, o melhor caso é $O(|T|/|P|)$ e o caso esperado também é $O(|T|/|P|)$. Com relação ao espaço, a implementação é dependente das decisões de projeto. Caso o texto seja colocado em memória, tem-se $O(|T|)$. Caso sejam lidas linha por linha, o custo é $O(|\Sigma|)$, onde Σ representa o alfabeto utilizado. Este custo é relativo ao armazenamento do vetor de deslocamentos d .

3.2.2 Implementação

Para a implementação do algoritmo, foram adotadas as decisões de projeto apresentadas na Seção 3.1.

No conjunto de códigos-fonte, serão encontradas duas pastas:

- `cd comprimido/lbmh/`: contém a implementação do BMH α que trabalha linha a linha;
- `cd comprimido/bmh/`: contém a implementação do BMH β , que trabalha com o arquivo todo em memória;

Algoritmo 3 BMH(Padrao P, tamanhoPadrao m, Texto T, tamanhoTexto n)

```
para (j ∈ MaxChar) faça
    d[j] = m;
fim para
para (j=1 to m) faça
    d[ord(P[j])] = m - j;
fim para
i = m;
enquanto (i ≤ n) faça
    k = 1;
    j = m;
    enquanto (T[k] = P[j]) and (j>0) faça
        k = k -1;
        j = j-1;
    fim enquanto
    se (j == 0) então
        Reporta casamento na posicao k+1;
    fim se
    i = i + d[ord(T[i+1])];
fim enquanto
```

3.2.3 Descrição de tipos e módulos

Foram utilizados os tipos `TipoTexto` e `TipoPadrao` apresentados por Ziviani [4].

Para o $BMH\alpha$, os principais módulos são `bmh.h`, que contém declarações de tipos, constantes de interfaces de métodos e o `bmh.c`, que contém a definição dos tipos e a implementação dos métodos. O método mais importante é o `BMH(FILE *p_ArquivoEntrada, TipoPadrao p_Padrao, int *m)`, que recebe o ponteiro para o arquivo de entrada, o padrão a ser buscado no texto e o tamanho do padrão. No método `main(int argc, char *argv[])` ocorre o recebimento dos dados de entrada utilizando as diretivas `getopt`.

Para o $BMH\beta$, os principais módulos são `bmhs.h` e `bmhs.c` (o nome `BMHS` **não se refere** à implementação do algoritmo de Boyer-Moore-Hoorspool-Sunday. Este nome foi colocado apenas para diferenciar as duas versões do BMH implementadas). O principal método da versão β é `void BMH(long *n, TipoPadrao P, long *m, int p_NumeroLinhas)`, que recebe o tamanho do texto, o padrão a ser buscado, o tamanho do padrão e o número de linhas do texto. Existe outro método importante, chamado `void processaTextoArquivo(FILE *p_ArquivoEntrada, int *p_NumeroLinhas, int *p_TamanhoArquivo)` que carrega o arquivo apontado por `p_ArquivoEntrada` para a memória e retorna o número de linhas e o número de caracteres, que em um texto ASCII representa o tamanho do arquivo.

3.2.4 Utilização dos sistemas

Para utilizar os sistemas, deve-se prosseguir da seguinte maneira, nas respectivas pastas:

```
./bmh.e -f <arquivo_entrada> -p <padrao>
```

Por exemplo, para buscar o padrão *Columbia* no arquivo `wsj88` localizado na pasta `/textos`, deve-se realizar a seguinte chamada:

```
./bmh.e -f /textos -p Columbia
```

3.3 Busca exata em texto comprimido usando o BMH

Nesta seção são apresentadas discussões a cerca da busca em textos comprimidos. Inicialmente será apresentado um algoritmo de compressão de textos em linguagem natural, devido a David Huffman em 1952.

3.3.1 Compactação de dados com Código de Huffman

Em sistemas de informação, é muito interesse obter a compactação da informação sem perda da mesma e com custo de informação reduzido. Para resolver este problema, pode-se utilizar um código de Representação Binária para cada caractere. A solução ideal é achar um Código de Prefixo Livres⁵ para cada representação binária. É isso que o Código de Huffman proporciona. Uma forma simples e eficiente de obter uma representação binária única para cada caracter através de uma árvore, e com uma economia de bits para representação de todos os caracteres.

O Código de Huffman gera uma árvore em que as folhas armazenam os símbolos e a freqüência dos mesmos. A seqüência binária que representa o código de prefixo livre é armazenado pela ordem de arcos da árvore. Cada arco a direita de um nó atribui um "0" ao prefixo e cada arco a esquerda atribui um "1".

O algoritmo opera sobre uma lista de prioridades organizada pela frequência da ocorrência de cada símbolo. A cada iteração, são geradas árvores, que são agrupadas até o momento em que somente uma árvore que armazena o código de prefixos livres com todos os elementos do conjunto é gerado. A cada iteração, as duas menores frequências são somadas e colocadas como raiz de uma árvore sem este nó ter qualquer elemento agregado, apenas a soma das menores freqüências da lista. Finalmente, cada raiz é readicionada na lista de prioridade. O Algoritmo 4 apresenta o algoritmo de construção da árvore de Huffman, geradora dos códigos.

1. Na linha 2 o conjunto de Caracteres é inserido todo numa lista de prioridades Q (excelente opção usar um heap);
2. Da linha 3 a 10 ocorre a formação efetiva da árvore de Huffman, por meio das $n-1$ iterações o for, onde n é a norma do conjunto C ;
 - (a) Cria-se um novo nó z para o que vai se tornar uma árvore;

⁵Um código de Prefixo Livre mantém as seguinte propriedades:

- Os códigos não possuem o mesmo número de bits, e sim tamanhos variáveis
- Códigos de menor comprimento são atribuídos a caracteres mais frequentes, e maior comprimento aos de menores freqüências
- Nenhum código é também um prefixo de algum outro código, eliminando-se assim a possibilidade de ambiguidade.

Algoritmo 4 Árvore de Huffman(Conjunto C)

```
n = |C|;  
Q = C;  
para (i=1 to n-1) faça  
    criar um novo nó z;  
    x = fila.desenfileira();  
    y = fila.desenfileira();  
    esquerda[z] = x;  
    direita[z] = y;  
    f(z) = f(x)+f(y)  
    fila.insere(z);  
fim para  
return fila.desenfileira();
```

- (b) Nas linhas 5 e 6 as duas menores freqüências da lista de prioridades são retiradas desta e colocadas em uma pequena árvore de três elementos, um pai que armazena a freqüência da soma das duas freqüências, o menor a esquerda e o maior a direita e então a raiz da nova árvore é reinserida na lista de prioridades;
3. Ao fim do algoritmo, depois de $n - 1$ iterações, a raiz da árvore que contém todos os elementos da lista é retornada para posterior manipulação.

Em [3] é apresentado o seguinte fluxo para compactação:

- Varrer o fluxo de entrada para que sejam mapeadas as freqüências;
- Coloca-se o conjunto de pares caractere-freqüência numa fila de prioridade baseada nas freqüências;
- Executar sobre a fila de prioridade o Algoritmo de Huffman (4) para a geração da árvore que produz os códigos de prefixo;
- Com o mapa caractere-código de prefixo e entrada são operados os seguintes passos sobre um fluxo de saída, no arquivo compactado:
 1. Grava-se um valor numérico que representa a quantidade de caracteres do nome do arquivo. Em seguida grava-se em representação normal de tamanho fixo o nome do fluxo original;
 2. Grava-se a quantidade de elementos do mapa de decodificação e depois cada elemento do mapa de decodificação, um mapa de caracteres com as chaves sendo o código de Huffman para aquele caractere. Uma estrutura de bytes do seguinte tipo: um caractere em notação normal, um valor numérico que armazena quantos dos seguintes bytes representam o código de Huffman do caractere.
 3. Grava-se no fluxo, colocando nos bytes adequadamente, a seqüência de bits que representa o fluxo em código de prefixo;

5. Quando o fluxo é fechado, o arquivo de entrada se encontra compactado.

Ziviani [4] apresenta uma implementação semelhante à apresentada pelo fluxo acima, exceto por alguns pontos de implementação. Além disso, Ziviani estende o conceito do código de Huffman e apresenta o **Huffman orientado a bytes ou Byte-Huffman**. Esta versão é ainda dividida em outras duas:

- Huffman pleno: uma sequência de bytes é associada a cada palavra do texto. O grau de cada nó passa de 2 para 256.
- Huffman com marcação: utiliza apenas 7 dos 8 bits de um byte para a codificação, e a árvore passa a ter grau 128. Nesse caso, o oitavo bit é usado para marcar o primeiro byte do código da palavra. Esta versão favorece a busca no texto comprimido, e por isso será utilizada no trabalho prático.

Exemplo de compressão

Para realizar uma compressão, é necessário definir qual é o alfabeto utilizado. Neste trabalho prático, foi utilizado o seguinte alfabeto:

ABCDEFGHIJKLMNPQRSTUVWXYZabcdefghijklmnopqrstuvwxyz0123456789
ҪÈÉÊËÍÍÍÑÒÓÔÔÔÙÙÙàáâääçééëëíííñòôôôòùúüü

A seguir, serão apresentados os resultados de compressão utilizando o algoritmo de Huffman:

Arquivo	Tamanho original(MB)	Tamanho comprimido(MB)	Razão (%)
wsj89	2.7	1.2	44
wsj88_20	20	7.4	37
wsj88	105	39	37

Tabela 29: Razão de compressão dos arquivos da coleção wsj.

3.3.2 Busca no arquivo comprimido

Ziviani [4] apresenta uma estratégia para se buscar no arquivo comprimido através do código de Huffman com marcação. A busca é feita pelo algoritmo de BMH, mas uma variante como o BMHS pode ser utilizada também. O esquema básico é o seguinte:

1. **Buscar a palavra no Vocabulário.** O Vocabulário consiste de uma tabela de palavras salvas no arquivo comprimido e contém todas as palavras do texto original. Se a palavra não existe no Vocabulário, então ela não existe no texto comprimido e deve-se interromper a execução. Isto é muito vantajoso, pois caso o Vocabulário seja implementado por uma estrutura do tipo *hash*, então o custo para saber se o Padrão está ou não no texto é $O(1)$.

2. **Obter o código de Huffman do Padrão.** Caso a palavra exista no Vocabulário, então deve-se codificar o padrão.

3. **Buscar a palavra no texto.** Busca-se o padrão codificado no texto comprimido, utilizando-se qualquer algoritmo de casamento. Por ser o algoritmo mais eficiente, sugere-se o uso do BMH e suas variantes.

O fluxo apresentado acima é bem pouco detalhado. Um algoritmo que apresenta o processo de busca é apresentado a seguir no Algoritmo 5.

Para implementar a busca, foi utilizado o código-fonte fornecido por Ziviani [4]. Entretanto, o código de Ziviani só permite buscar padrões simples no arquivo comprimido, isto é, padrões que possuem um espaço entre as palavras não são buscados. Já o Algoritmo 5 permite esse tipo de busca, e por isso o código original foi alterado.

Algoritmo 5 Busca no Arquivo comprimido(FILE *p_ArquivoComprimido, Padrao p_Padrao, Texto)

```
Padrao PadraoABuscar;
para p ∈ p_Padrao faça
    se p ∈ Vocabulário então
        Codigo = Descobre código de p
        concatena(PadraoABuscar, codigo)
    senão
        Retorne sem sucesso /*uma das palavras do padrão não existe no vocabulário, logo não é necessário continuar*/
    fim se
    BMH(Texto, p_PadraoBuscar);
    Retorne Número de ocorrências
fim para
```

3.3.3 Utilização do sistema

Para utilizar o sistema, deve-se fornecer a opção desejada:

- c: realiza compressão
- d: realiza descompressão
- p: realiza pesquisa no texto comprimido.

Exemplos de chamadas:

- Compressão do arquivo `Makefile` para gerar o `Makefile.zip`:

```
./huffman.e c Makefile Makefile.zip
```

- Descompressão do arquivo `tp.zip` para gerar o `tp.new`:

```
./huffman.e d tp.zip tp.new
```

- Busca o padrão `gcc` no arquivo `Makefile.zip`:

```
./huffman.e p Makefile.zip gcc
```

3.4 Resultados Computacionais

A seguir serão apresentados os resultados computacionais dos algoritmos implementados. Os resultados são apresentados individualmente para cada algoritmo, e em seguida eles serão usados para fazer comparações entre as três diferentes abordagens que foram implementadas nesta segunda parte do Trabalho Prático.

Os testes foram feitos seguindo diretrizes semelhantes às da Seção 2.6.1. Serão apresentadas tabelas com os resultados individuais e também gráficos com o tempo e número de comparações para o menor e maior padrão do conjunto de padrões da Tabela 4.

3.4.1 Resultados do $\text{BMH}\alpha$

A Tabela 30 apresenta os resultados obtidos pelo algoritmo $\text{BMH}\alpha$ quando aplicado sobre o Arquivo `wsj89`.

Padrão	Real	Usuário	Sistema	Comparações
DCC UFMG dollar	0.085	0.079	0.003	236692
dia branco	0.084	0.082	0.003	354548
Macunaima administration	0.087	0.083	0.004	192050
Brazilian coffee	0.086	0.080	0.005	263406
New York Stock Exchange	0.090	0.085	0.003	182135
Manacapuru	0.087	0.080	0.004	309156
Canada Treasury	0.085	0.081	0.004	246425
Michael Gregory	0.086	0.079	0.005	250470
price index	0.084	0.084	0.001	328933
Uberaba	0.086	0.085	0.001	459241

Tabela 30: $\text{BMH}\alpha$: Arquivo `wsj89`.

O pequeno tamanho do arquivo permite que o algoritmo realize sua computação de maneira bastante rápida: todos os tempos de execução são bastante pequenos.

A Tabela 31 apresenta os resultados obtidos pelo algoritmo $\text{BMH}\alpha$ quando aplicado sobre o `wsj88_20`. Percebe-se um aumento no tempo de Real de computação, principalmente devido ao aumento no tempo de usuário. O número de comparações também é uma ordem de grandeza superior às comparações do arquivo anterior.

Finalmente, a Tabela 32 apresenta os resultados sobre o maior arquivo da coleção, de 105MB. O tempo de processamento aumenta consideravelmente, e também o número de comparações.

Estes resultados são sintetizados nas Figuras 27(a) e 27(b).

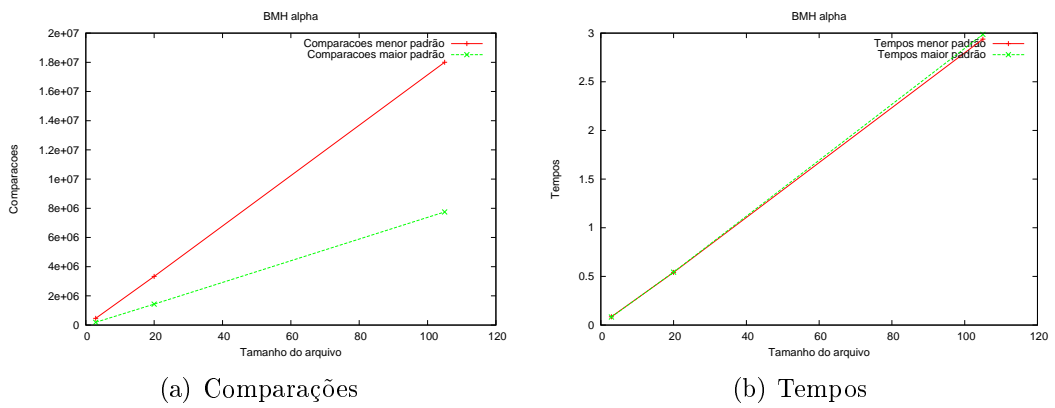
A primeira Figura ilustra que o $\text{BMH}\alpha$ caiu no caso esperado, pois quanto maior o padrão, menor o número de comparações. Por outro lado, o algoritmo é bem estável com relação ao tempo de processamento.

Padrão	Real	Usuário	Sistema	Comparações
DCC UFMG dollar	0.548	0.528	0.020	1737428
dia branco	0.550	0.533	0.016	2606053
Macunaima administration	0.565	0.544	0.021	1433977
Brazilian coffee	0.767	0.536	0.018	1936241
New York Stock Exchange	0.593	0.548	0.020	1356524
Manacapuru	0.544	0.528	0.015	2251323
Canada Treasury	0.839	0.582	0.009	1816266
Michael Gregory	0.554	0.536	0.016	1837304
price index	0.555	0.540	0.013	2409656
Uberaba	0.818	0.541	0.012	3335124

Tabela 31: **BMH α : Arquivo wsj88_20.**

Padrão	Real	Usuário	Sistema	Comparações
DCC UFMG dollar	4.086	2.924	0.062	9385951
dia branco	4.081	2.934	0.057	14058720
Macunaima administration	4.185	2.987	0.050	7749554
Brazilian coffee	4.156	2.980	0.053	10447983
New York Stock Exchange	4.494	3.032	0.109	7339037
Manacapuru	4.029	2.887	0.050	12135517
Canada Treasury	4.079	2.922	0.068	9797333
Michael Gregory	4.061	2.912	0.055	9910739
price index	4.080	2.922	0.062	13005856
Uberaba	4.083	2.938	0.063	18001748

Tabela 32: **BMH α : Arquivo wsj88.**



(a) Comparações

(b) Tempos

Figura 27: BMH α . Variação do tamanho do arquivo.

3.4.2 Resultados do $\text{BMH}\beta$

As Tabelas 33, 34 e 35 apresentam os resultados obtidos pelo BMH que opera com o texto em memória, de acordo com a variação do tamanho do arquivo de entrada. Foi observada grande variação no tempo de processamento (*User Time*) quando o tamanho do arquivo é aumentado.

O resultado é sintetizado graficamente através das Figuras 28(a) e 28(b).

Padrão	Real	Usuário	Sistema	Comparações
DCC UFMG dollar	0.145	0.136	0.007	260750
dia branco	0.141	0.133	0.005	380433
Macunaima administration	0.138	0.125	0.013	222476
Brazilian coffee	0.139	0.132	0.006	290594
New York Stock Exchange	0.151	0.142	0.007	209145
Manacapuru	0.145	0.133	0.006	330642
Canada Treasury	0.138	0.129	0.010	272355
Michael Gregory	0.139	0.133	0.007	275159
price index	0.139	0.131	0.008	355295
Uberaba	0.140	0.129	0.009	481654

Tabela 33: **BMH β : Arquivo wsj89.**

Padrão	Real	Usuário	Sistema	Comparações
DCC UFMG dollar	1.726	0.921	0.106	1891602
dia branco	0.983	0.930	0.050	2757510
Macunaima administration	0.973	0.925	0.047	1618916
Brazilian coffee	0.981	0.912	0.065	2123358
New York Stock Exchange	1.436	1.300	0.074	1525476
Manacapuru	0.976	0.943	0.030	2379466
Canada Treasury	0.977	0.938	0.037	1979333
Michael Gregory	0.978	0.938	0.036	2001053
price index	1.022	0.964	0.048	2581155
Uberaba	0.988	0.938	0.046	3473967

Tabela 34: **BMH β : Arquivo wsj88_20.**

Conclusões semelhantes ao do $\text{BMH}\alpha$ podem ser obtidas até o momento. Assintoticamente, ambos os algoritmos possuem o mesmo comportamento. Na Seção de comparações será discutido qual a vantagem de cada um deles de acordo com o cenário.

Padrão	Real	Usuário	Sistema	Comparações
DCC UFMG dollar	5.237	4.980	0.244	10223387
dia branco	5.281	5.041	0.230	14886598
Macunaima administration	5.256	4.995	0.248	8753510
Brazilian coffee	5.291	5.051	0.226	11468441
New York Stock Exchange	26.180	17.355	0.470	8254014
Manacapuru	5.533	5.106	0.248	12836780
Canada Treasury	8.490	5.102	0.306	10689181
Michael Gregory	5.509	5.089	0.235	10799573
price index	6.582	6.069	0.264	13944654
Uberaba	5.332	5.105	0.212	18765320

Tabela 35: **BMH β : Arquivo wsj88.**

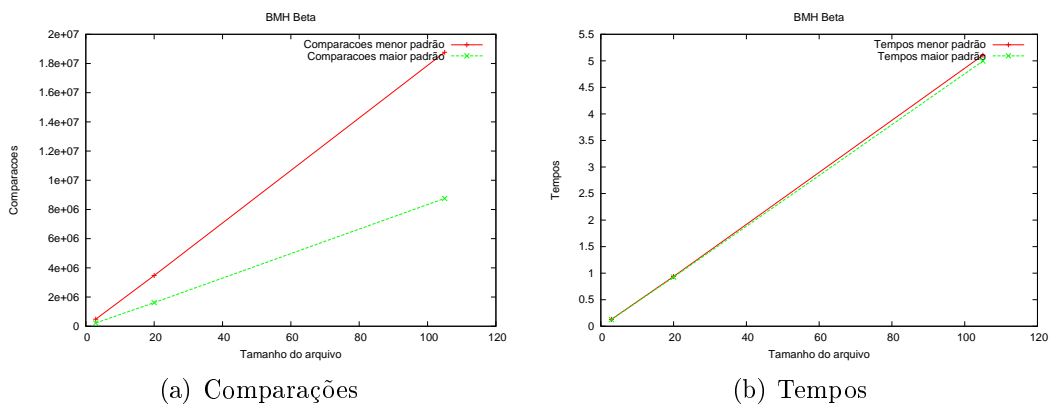


Figura 28: **BMH β .** Variação do tamanho do arquivo.

3.4.3 Resultados do BMH aplicado ao texto comprimido por Huffman

Finalmente, os resultados do BMH aplicados sobre o texto comprimido com o código de Huffman.

As Tabelas 36, 37 e 38 e apresentam os resultados sobre os arquivos da coleção `wsj` comprimidos, como ilustra a Tabela 29.

Padrão	Real	Usuário	Sistema	Comparações
DCC UFMG dollar	0.230	0.190	0.015	173503
dia branco	0.198	0.181	0.017	172396
Macunaima administration	0.194	0.180	0.013	258039
Brazilian coffee	0.197	0.170	0.024	204947
New York Stock Exchange	0.201	0.175	0.022	135919
Manacapuru	0.199	0.181	0.016	509769
Canada Treasury	0.196	0.180	0.015	258380
Michael Gregory	0.196	0.178	0.018	206884
price index	0.195	0.178	0.013	261611
Uberaba	0.197	0.181	0.016	341177

Tabela 36: **Busca no Arquivo `wsj89` comprimido.**

Padrão	Real	Usuário	Sistema	Comparações
DCC UFMG dollar	0.921	0.870	0.049	0
dia branco	0.953	0.907	0.043	0
Macunaima administration	0.943	0.899	0.045	0
Brazilian coffee	0.957	0.905	0.050	1792369
New York Stock Exchange	1.005	0.935	0.045	946484
Manacapuru	0.936	0.900	0.034	0
Canada Treasury	0.935	0.873	0.060	1821905
Michael Gregory	0.949	0.898	0.048	1796904
price index	0.976	0.918	0.044	1842377
Uberaba	0.940	0.886	0.052	0

Tabela 37: **Busca no Arquivo `wsj88_20` comprimido.**

Para o caso dos padrões `Uberaba` (menor padrão) e `Macunaima administration` (maior padrão), obtém-se os gráficos apresentados na Figura 29.

O primeiro gráfico, que relaciona o número de comparações ao tamanho do arquivo possui a forma *estranha* porque, de fato, para o segundo e para o terceiro arquivo da coleção, os padrões procurados não existem no texto. Quando isto ocorre, o padrão não chega sequer a ser buscado pelo BMH, conforme discutido na Seção 3.3.2 e apresentado no Algoritmo 5.

Para que seja observado o comportamento assintótico dos algoritmos, foram colhidos dois outros padrões: `New York Stock Exchange` e `price index`, pois eles existem nos três arquivos. O resultado é visto na Figura 30.

Padrão	Real	Usuário	Sistema	Comparações
DCC UFMG dollar	4.297	4.125	0.160	0
dia branco	4.165	4.008	0.147	0
Macunaima administration	4.175	4.009	0.157	0
Brazilian coffee	4.440	4.274	0.156	9717193
New York Stock Exchange	4.623	4.256	0.164	5230544
Manacapuru	4.173	4.007	0.156	0
Canada Treasury	4.270	4.108	0.149	9883176
Michael Gregory	4.420	4.259	0.149	9728953
price index	4.275	4.103	0.152	9985107
Uberaba	4.143	3.984	0.149	0

Tabela 38: **Busca no Arquivo wsj88 comprimido.**

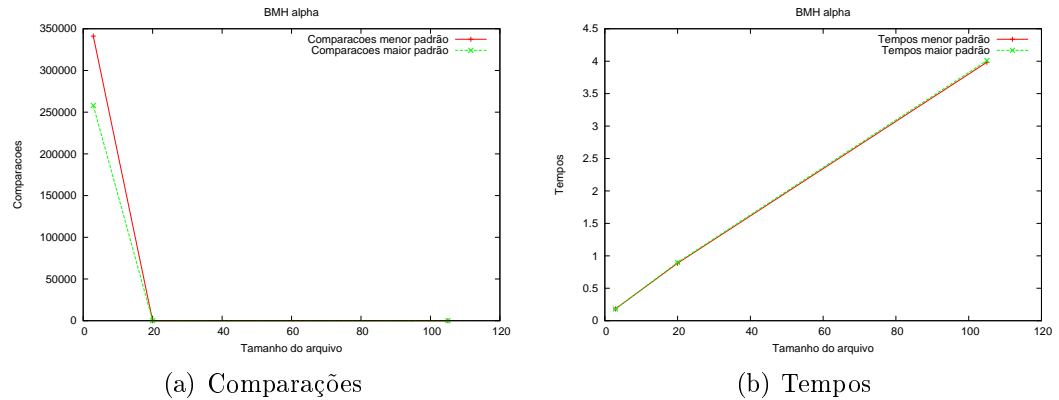


Figura 29: BMH sobre o arquivo comprimido. Variação do tamanho do arquivo.

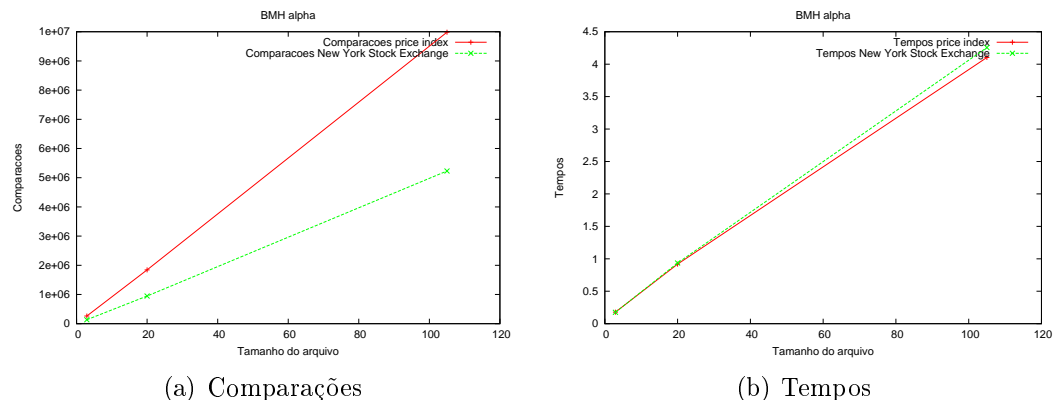


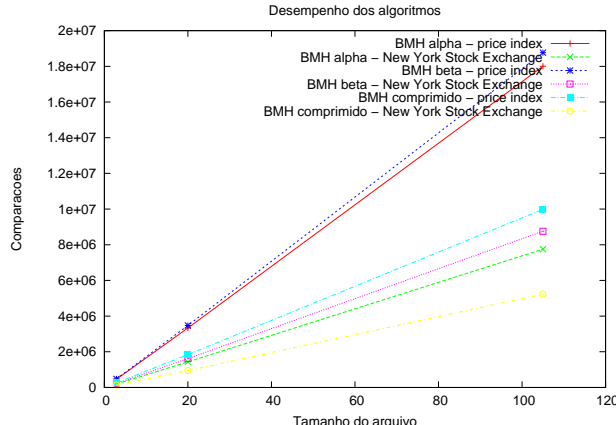
Figura 30: BMH sobre o arquivo comprimido. Variação do tamanho do arquivo considerando novos padrões.

3.5 Resultados computacionais comparativos

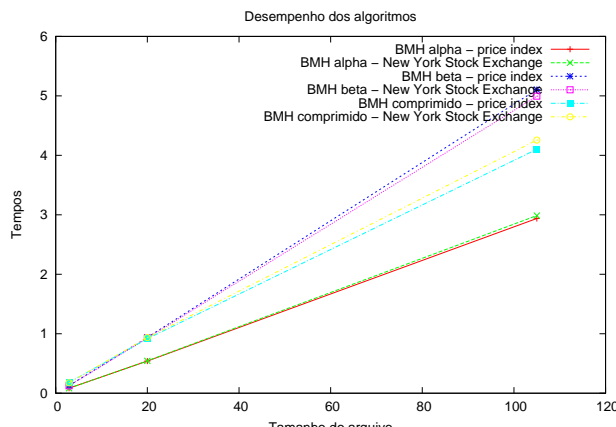
Finalmente, inicia-se o processo comparativo entre as três abordagens implementadas para busca exata.

O primeiro teste a ser realizado será verificar o desempenho do algoritmo para os dois padrões **New York Stock Exchange** e **price index**. Estes padrões foram escolhidos, pois, como esclarecido acima, eles aparecem em todos os arquivos.

As Figuras 31(a) e 31(b) apresentam os resultados computacionais quando se varia o tamanho do arquivo.



(a) Comparações



(b) Tempos

Figura 31: Comparação entre os BMHs desenvolvidos.

Algumas conclusões sobre este primeiro resultado:

- Quando se comparam padrões específicos, como **price index** para os três algoritmos, o BMH que busca no texto comprimido realiza um número bem menor de comparações. Isto era esperado, pois como o texto está comprimido com códigos menores do que o texto original, o número de comparações deveria ser realmente menor.

As Figuras 32(a), 32(b), 33(a), 33(b), 34(a) e 34(b) apresentam o número de comparações e o tempo gasto para se buscar cada padrão específico em cada um

dos arquivos da coleção. No eixo x de cada gráfico, se encontra o **ID** do padrão, de acordo com a classificação proposta na Tabela 4.

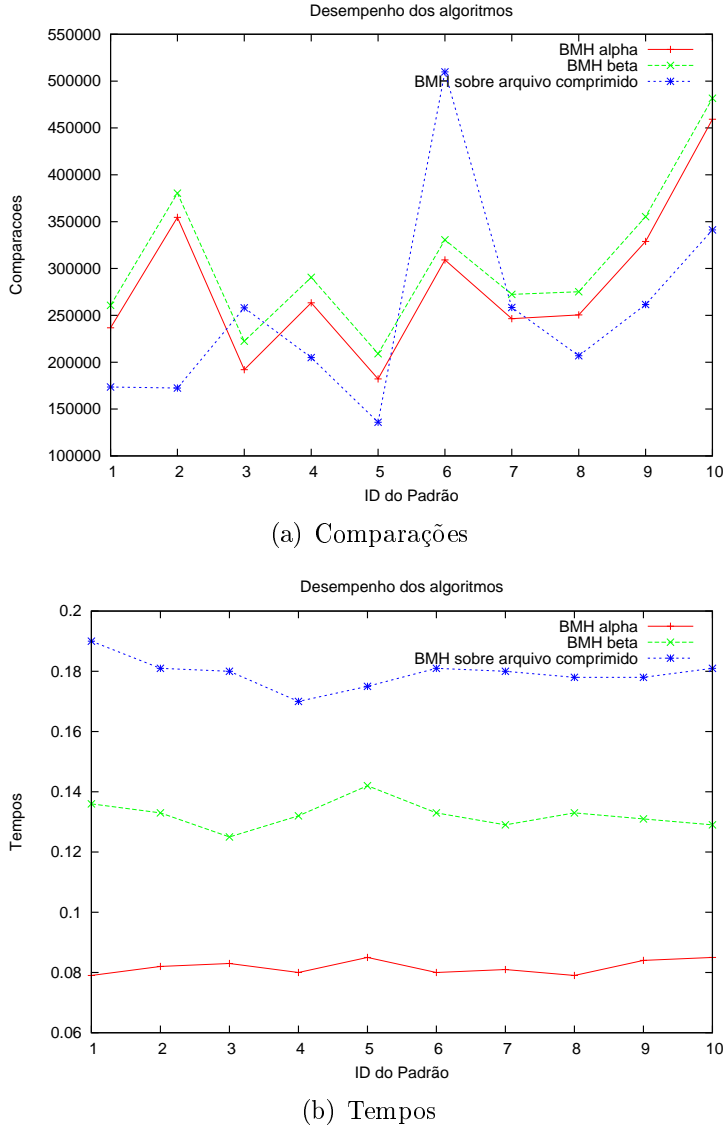
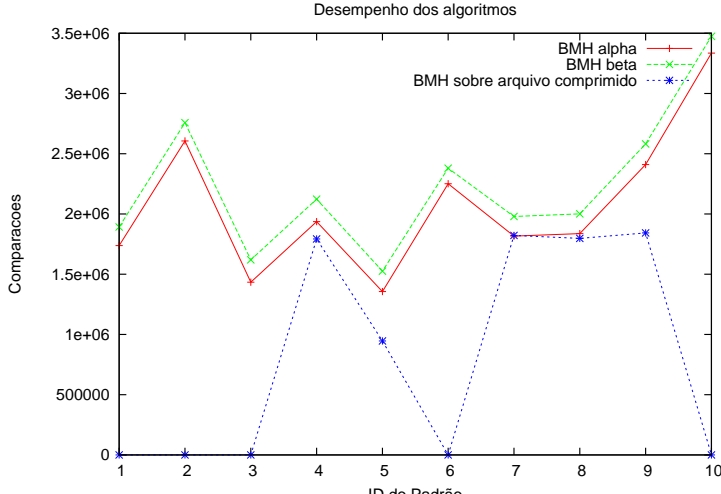


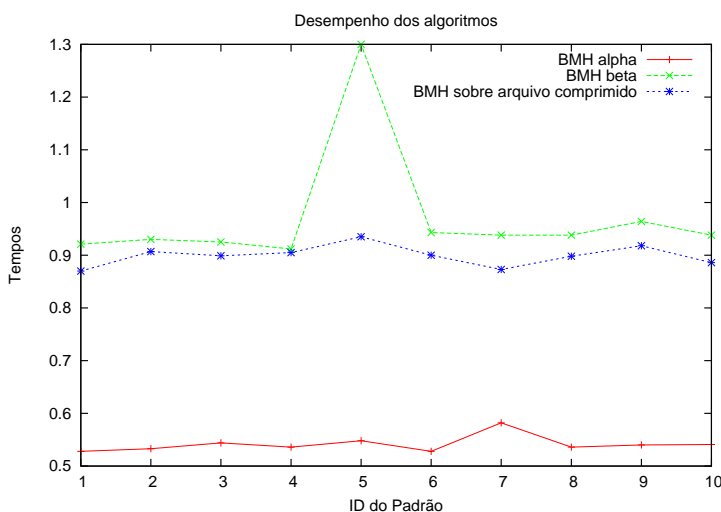
Figura 32: Comparação entre os BMHs desenvolvidos para cada padrão sobre o arquivo `wsj89`.

Fecha-se esta Seção com as seguintes conclusões:

- A busca no texto comprimido realiza um número menor de comparações, como já era esperado.
- Quando se compara o $BMH\alpha$ com a versão $BMH\beta$, vê-se claramente as vantagens das Decisões de Projeto iniciais: a versão α é sempre mais rápida do que a β para se buscar em texto não-comprimido. O algoritmo α é muito rápido e chega mesmo a ser mais rápido do que a versão que busca no texto comprimido, dado o *overhead* associado à busca no texto comprimido: é necessário montar o Vocabulário, fazer busca no Vocabulário, codificar o padrão buscado, etc.



(a) Comparações



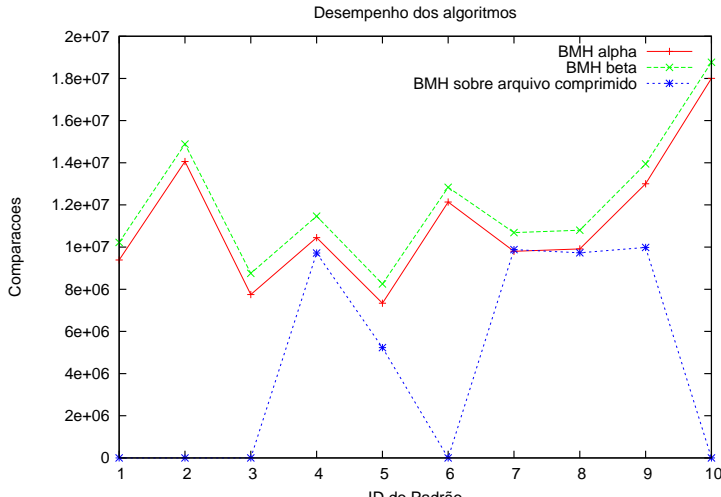
(b) Tempos

Figura 33: Comparação entre os BMHs desenvolvidos para cada padrão sobre o arquivo `wsj88_20`.

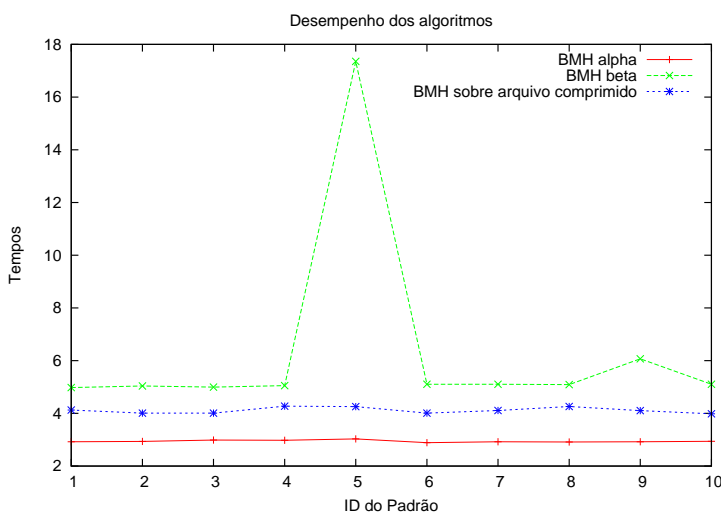
- Ainda com relação às diferentes versões α e β , é interessante observar que o α realiza um número menor de comparações. Isso poderia, à primeira vista, parecer uma incongruência, dado que ambos operam sobre possuem a mesma ordem de complexidade, e esta é determinística. Entretanto, é necessário lembrar que no caso da versão α , os caracteres de nova linha são eliminados das linhas, e isso implica em um número menor de comparações. No caso de arquivos grandes, como o `wsj88` (que contém **milhões de linhas**) esta pequena estratégia causa uma variação considerável.

3.6 Conclusões gerais – Parte II

Nesta segunda parte, foram discutidas as estratégias de busca em texto sem permitir erros nos casamentos. A implementação foi muito produtiva e interessante, principalmente devido aos seguintes fatores:



(a) Comparações



(b) Tempos

Figura 34: Comparação entre os BMHs desenvolvidos para cada padrão sobre o arquivo `wsj88`.

- O conteúdo possui diversas aplicações práticas, de assuntos que vão desde Sistemas Operacionais, passando por desenvolvimento de editores de texto, busca na Web e até Bioinformática.
- Trabalhou-se com arquivos comprimidos. O estudo deste assunto tem-se mostrado interessantíssimo, dado que a cada dia nos vemos mais atolados em uma quantidade cada vez maior de informações.
- Foi interessante notar a importância do planejamento das *Decisões de Projeto*, mesmo sobre um Trabalho Prático. Antes do desenvolvimento começar, foram feitas comparações entre diferentes abordagens, e isso permitiu um desenvolvimento direcionado, que ao final mostrou-se coerente com as decisões tomadas: o BMH α foi bem mais eficiente do que sua versão β , e isso já era esperado de acordo com as decisões da Seção 1.

Gostaria de utilizar este espaço para agradecer aos colegas Gleicy Aparecida Cabral, Daniel Guidoni, Cristiano Gato e Raquel Cabral pelas discussões, sugestões e dúvidas técnicas que foram supridas por eles durante o desenvolvimento deste Trabalho Prático.

4 Listagem dos códigos fonte

Listagem 3: one.h

```
#ifndef _one_h
#define _one_h

#include <unistd.h>
5 #include <stdio.h>
#include <stdlib.h>
#include <string.h>

#define MAX_TAM_LINHA 5000
10 void procuraLinhaVetorLinhas(long p_Posicao, long p_NumeroLinhas);
void editDistance(char* p_Padrao, char *p_Linha, int p_Errros, int
    p_NumLinha, int *p_NumeroComparacoes, int *p_Ocorrencias);
void processaEntrada (int p_TamEntrada);
int OpenFile(char *nome_arquivo, FILE **fp, char *modo);
15 int main(int argc, char *argv[]) ;
#endif
```

Listagem 4: one.c

```
#include "one.h"
#define TRUE 1
#define FALSE 0

5 /* @chomp: remove a new line identifier <'|n'> from the *string *
 * */
void chomp(char *string)
{
10     if (string[strlen(string)-1] == '\n') string[strlen(string)-1]
        = string[strlen(string)];
}

/* @editDistance: implements Seller's algorithm of Dynamic Programming
 * @parameter: p_Padrao: string to be searched
 * @parameter: p_TamanhoTexto: size of the text in number of chars
 * @parameter: p_ArquivoEntrada: input file containing the text
 * @parameter: p_Errros: number of errors allowed for the search
 * @parameter: p_NumLinhas: number of lines in the text
 * */
15

20 int i = 0;
int lact = 0;
int pos = 0;
int pC = 0;
int nC = 0;
char y;
int C[200];

void inicia(char *p_Padrao)
{
30     int k = 0;
```

```

    int v_Size = strlen(p_Padrao);
    for (k = 0; k<=v_Size; k++)
    {
        C[k] = k;
    }
}

40
void editDistance(char* p_Padrao, char *p_Linha, int p_Erros, int
    p_NumLinha, int *p_NumeroComparacoes, int *p_Ocorrencias)
{
    int v_TamanhoPadrao = strlen(p_Padrao);
    int p_TamanhoTexto = strlen(p_Linha);
    int v_ImprimeLinha = FALSE;
    int v_NumVezesLinha = 0;

    if (lact == 0)
        lact = p_Erros + 1;

    for (pos=1; pos<=p_TamanhoTexto; pos++)
    {
        pC = 0;
        nC = 0;
        y = p_Linha[pos-1];

        if (y < 0) continue;

        for (i=1; i<=lact; i++)
        {
            *p_NumeroComparacoes = *p_NumeroComparacoes + 1;
            if (p_Padrao[i-1] == y)
            {
                nC = pC;
            }
            else
            {
                if (pC < nC) nC = pC;
                if (C[i] < nC) nC = C[i];
                nC = nC + 1;
            }
            pC = C[i];
            C[i] = nC;
        }
        while ( C[lact] > p_Erros) lact = lact - 1 ;
        if (lact == v_TamanhoPadrao)
        {
            //printf("%d]: %s\n", p_NumLinha, p_Linha);
            v_ImprimeLinha = TRUE;
            v_NumVezesLinha++;
            *p_Ocorrencias = *p_Ocorrencias + 1;
        }
        else
        {
            lact = lact + 1;
        }
    }
}

```

```

        }
        if (v_ImprimeLinha)
        {
            if (v_NumVezesLinha == 1)
            {
                printf ("%d: %s\n", p_NumLinha,
                        p_Linha);
            }
            else
            {
                if (v_NumVezesLinha > 1)
                {
                    printf ("%d x [%d]: %s\n",
                            v_NumVezesLinha, p_NumLinha,
                            p_Linha);
                }
                else
                {
                    printf ("Erro. v_EscreverLinha = TRUE
                            mas n<E3>o tem ocorrencia na linha
                            .\n");
                    exit(1);
                }
            }
        }
    }

110   v_NumVezesLinha = 0;
    v_ImprimeLinha = FALSE;

}
115

/* @processaEntrada: process the values from main.argv.
 * @parameter p_TamEntrada: size of the input. If less than 3, there is
 *      no enough parameters for the system
 * */
120
void processaEntrada (int p_TamEntrada)
{
    if (p_TamEntrada < 3)
    {
        printf ("Error at call. A chamada padrão deve ser: ./"
                "dynamica.e -e #erros permitidos -f arquivo_entrada"
                "-p padrao]\n");
        exit(1);
    }
}

130 /* @OpenFile: open the file with the name *nome_arquivo and returns a
 *      pointer at **fp
 * @parameter modo: "r"=read, "w"=write ... C default ways for openning
 *      a file. *
 * */
135 int OpenFile(char *nome_arquivo, FILE **fp, char *modo)

```

```

    {
        if ((*fp = fopen ( nome_arquivo , modo)) == NULL)
        {
            printf("Erro na abertura do arquivo de entrada.\n");
            exit(-1);
        }
        return 0;
    }

145  /*
 * @main: my main
 * @see doc of the system for explanation about input parameters by
 * getopt.
 * @author: fred
 * */
150
int main(int argc , char *argv[])
{
    FILE *v_InputFile;
    char v_Padrao[100];
    int v_NumErrosPermitidos = 0;
    char v_NomeArquivo[100];
    int v_NumLinha = 0;
    char v_Linha[MAX_TAM_LINHA];
    int v_NumeroComparacoes = 0;
    int i = 0;
    int v_Ocorrencias = 0 ;

165
while ( (i = getopt(argc , argv , "e:f:p:")) != -1)
{
    switch (i)
    {
        case 'e':
            v_NumErrosPermitidos = atoi(optarg);
        break;

        case 'f':
            strcpy(v_NomeArquivo , optarg);
        break;

        case 'p':
            strcpy(v_Padrao , optarg);
        break;
    }
}

180
OpenFile(v_NomeArquivo , &v_InputFile , "r");
v_NumLinha = 1;

185
inicia(v_Padrao);
while (fgets(v_Linha , MAX_TAM_LINHA, v_InputFile))
{
    chomp(v_Linha);
}

```

```

        editDistance(v_Padrao, v_Linha, v_NumErrosPermitidos,
                      v_NumLinha, &v_NumeroComparacoes, &v_Ocorrencias);
        v_NumLinha++;
    }
    printf("\nComparacoes: %d\nOcorrencias: %d\n\n",
           v_NumeroComparacoes, v_Ocorrencias);
195   fclose(v_InputFile);
    return 0;
}

```

Listagem 5: shiftand.h

```

#ifndef _shift_and
#define _shift_and

#include <stdio.h>
5 #include <stdlib.h>
#include <string.h>
#include <unistd.h>

typedef char *TipoTexto;
10 typedef char *TipoPadrao;
void ShiftAndAproximado(FILE *p_Arquivo, TipoPadrao P, long *m, long *k
                        , int *p_Comparacoes, int *p_Ocorrencias);
int OpenFile(char *nome_arquivo, FILE **fp, char *modo);
int main(int argc, char **argv);
void chomp(char *string);
15 #endif

```

Listagem 6: shiftand.c

```

#include "shiftand.h"

#define Maxchar      256
#define NumMaxErros 10
5 #define TRUE      1
#define FALSE     0
#define MAX_TAM_LINHA 5000

/* @chomp: remove a new line identify <'n'> from the *string
10 */
void chomp(char *string)
{
    if (string[strlen(string)-1] == '\n') string[strlen(string)-1]
        = string[strlen(string)];
}
15

void ShiftAndAproximado(FILE *p_Arquivo, TipoPadrao P, long *m, long *k
                        , int *p_Comparacoes, int *p_Ocorrencias)
{ long Masc[Maxchar];
  long i, j, Ri, Rant, Rnovo;
20  long R[NumMaxErros + 1];
  char linha[MAX_TAM_LINHA];
  int v_NumLinha = 1;
  int v_ocor = 0;
  int v_EscreverLinha = 0;

```

```

25  int v_NumVezesLinha = 0;

  for (i = 0; i < Maxchar; i++)
    Masc[i] = 0;
  for (i = 1; i <= *m; i++)
    { Masc[P[i-1] + 127] |= 1 << (*m - i); }
30  R[0] = 0;
  Ri = 1 << (*m - 1);
  for (j = 1; j <= *k; j++)
    R[j] = (1 << (*m - j)) | R[j-1];

35  while (fgets(linha,MAX_TAM_LINHA, p_Arquivo))
{
  chomp(linha);
  for (i = 0; i < strlen(linha); i++)
  {
    Rant = R[0];
    Rnovo = (((unsigned long)Rant) >> 1) | Ri) & Masc[linha[i] +
      127];
    R[0] = Rnovo;
    *p_Comparacoes = *p_Comparacoes + 1;
40  for (j = 1; j <= *k; j++)
    { Rnovo = (((unsigned long)R[j]) >> 1) & Masc[linha[i] + 127]
      | Rant | (((unsigned long)(Rant | Rnovo)) >> 1);
      Rant = R[j];
      R[j] = Rnovo | Ri;
      *p_Comparacoes = *p_Comparacoes + 1;
    }
    if ((Rnovo & 1) != 0)
    {
50    //      printf("%d]: %s\n", v_NumLinha, linha);
      v_EscreverLinha = TRUE;
      v_NumVezesLinha++;
      v_ocor++;
    }
  }
60  if (v_EscreverLinha)
  {
    if (v_NumVezesLinha == 1)
    {
      printf("%d]: %s\n", v_NumLinha, linha)
      ;
    }
    else
    {
      if (v_NumVezesLinha > 1)
      {
        printf("%d x %d]: %s\n",
65        v_NumVezesLinha, v_NumLinha, linha)
        ;
      }
      else
      {
        printf("Erro. v_EscreverLinha = TRUE
               mas não tem ocorrencia na linha.\n"
               );
        exit(1);
      }
    }
  }
70

```

```

                }
            }
        }
        v_NumLinha++;
        v_NumVezesLinha = 0;
        v_EscreverLinha = FALSE;
    }
    *p_Ocorrencias = v_ocor;
}
85

int OpenFile(char *nome_arquivo, FILE **fp, char *modo)
{
    if ((*fp = fopen (nome_arquivo, modo)) == NULL)
90    {
        printf("Erro na abertura do arquivo de entrada.\n");
        exit(-1);
    }
    return 0;
}
95

void processaEntrada(int p_Argc)
{
    if (p_Argc < 3)
100    {
        printf("Error at call: $->shiftand [errors] [inputfile]
                [padrao]\n");
        exit(-1);
    }
}
105

int main(int argc, char **argv)
{
110

    TipoPadrao v_Padrao;
    long k = 0;
    FILE *v_ArquivoEntrada;
    char v_NomeArquivo[100];
    char v_StrPadrao[100];
    long v_TamPadrao;
    int i = 0 ;
    int v_NumeroComparacoes = 0;
    int v_Ocorrencias = 0;
120

    while ( (i = getopt(argc, argv, "e:f:p:")) != -1)
    {
        switch (i)
125        {
            case 'e':
                k = atoi(optarg);
                break;
            case 'f':
                strcpy(v_NomeArquivo, optarg);
130
}

```

```

        break;

    case 'p':
        strcpy(v_StrPadrao, optarg);
        break;

    }

140
    OpenFile(v_NomeArquivo, &v_ArquivoEntrada, "r");
    v_Padrao = (TipoPadrao) v_StrPadrao;
    v_TamPadrao = strlen(v_StrPadrao);
    ShiftAndAproximado(v_ArquivoEntrada, v_Padrao, &v_TamPadrao, &k
        ,&v_NumeroComparacoes, &v_Ocorrencias );
145
    printf("\nComparacoes: %d\n", v_NumeroComparacoes);
    printf("Ocorrencias: %d\n\n", v_Ocorrencias);

    fclose(v_ArquivoEntrada);
    return 0;
}

```

Listagem 7: bmh.h

```

#ifndef _bmhs_
#define _bmhs_

5 #include <stdio.h>
#define include <stdlib.h>
#define include <string.h>
#define include <unistd.h>

#define Maxchar 256
10 #define NumMaxErros 10

#define TRUE 1
#define FALSE 0

15 #define MAX_TAM_LINHA 5000

typedef char *TipoTexto;
typedef char *TipoPadrao;

20 TipoTexto m_Texto;

int * v_VetorLinhas;

int OpenFile(char *nome_arquivo, FILE **fp, char *modo);
25 void processaEntrada(int p_Argc);
int main(int argc, char **argv);
void BMH(FILE *p_ArquivoEntrada, TipoPadrao P, long *m, int *
    p_NumeroComparacoes, int *p_Ocorrencias);
#endif

```

Listagem 8: bmh.c

```
#include "bmh.h"
```

```

5  /* @chomp: remove a new line identifier <'|n'|> from the *string *
   * */
10 void chomp(char *string)
{
    if (string[ strlen(string)-1] == '\n') string[ strlen(string)-1]
        = string[ strlen(string)];
}
15
/* @BMH: implements the Boyer-Morre-Hoorspool Algorithm
   * @parameter p_ArquivoEntrada: a pointer for the input file
   * @parameter P: the string to be matched
   * @parameter m: a pointer for the size of P
   * @parameter p_NumeroComparacoes: a pointer that returns the number of
      comparisons
   * */
20
void BMH(FILE *p_ArquivoEntrada, TipoPadrao P, long *m, int *
         p_NumeroComparacoes, int *p_Ocorrencias)
{
    long i, j, k;
    long d[Maxchar + 1];
25    i = *m;
    char linha[MAX_TAM_LINHA];
    int n;
    int v_Linha = 1;
    int v_ImprimeLinha = FALSE;
    int v_NumVezesLinha = 0;

30
    while (fgets(linha, MAX_TAM_LINHA, p_ArquivoEntrada))
    {
        chomp(linha);

        for (j = 0; j <= Maxchar; j++)
            d[j] = *m;

40        for (j = 1; j < *m; j++)
            d[(int)P[j-1]] = *m - j;

        n = strlen(linha);
        i = *m;
45
        while (i <= n)
        {
            k = i;
            j = *m;
            while (linha[k-1] == P[j-1] && j > 0)
            {
                k--;
                j--;
                *p_NumeroComparacoes = *p_NumeroComparacoes +
1;

```

```

55    }
56
57    *p_NumeroComparacoes = *p_NumeroComparacoes + 1;
58
59    if (j == 0)
60    {
61        v_ImprimeLinha = TRUE;
62        v_NumVezesLinha++;
63        *p_Ocorrencias = *p_Ocorrencias + 1;
64    }
65
66    i += d[(int)linha[i - 1]];
67
68    if (v_ImprimeLinha)
69    {
70        if (v_NumVezesLinha == 1)
71        {
72            printf("[%d]: %s\n", v_Linha, linha);
73        }
74        else
75        {
76            if (v_NumVezesLinha > 1)
77            {
78                printf("%d x [%d]: %s\n",
79                       v_NumVezesLinha, v_Linha, linha);
80            }
81            else
82            {
83                printf("Erro. v_EscreverLinha = TRUE
84                     mas n<E3>o tem ocorrencia na linha
85                     .\n");
86                exit(1);
87            }
88        }
89    }
90    v_Linha++;
91    v_NumVezesLinha = 0;
92    v_ImprimeLinha = FALSE;
93 }
94
95 int OpenFile(char *nome_arquivo, FILE **fp, char *modo)
96 {
97     if ((*fp = fopen (nome_arquivo, modo)) == NULL)
98     {
99         printf("Erro na abertura do arquivo de entrada.\n");
100        exit(-1);
101    }
102    return 0;
103 }
104
105 void processaEntrada(int p_Argc)
106 {
107     if (p_Argc < 2)
108     {
109
110
111
112
113
114
115
116
117
118
119
120
121
122
123
124
125
126
127
128
129
130
131
132
133
134
135
136
137
138
139
140
141
142
143
144
145
146
147
148
149
150
151
152
153
154
155
156
157
158
159
160
161
162
163
164
165
166
167
168
169
170
171
172
173
174
175
176
177
178
179
180
181
182
183
184
185
186
187
188
189
190
191
192
193
194
195
196
197
198
199
200
201
202
203
204
205
206
207
208
209
210
211
212
213
214
215
216
217
218
219
220
221
222
223
224
225
226
227
228
229
230
231
232
233
234
235
236
237
238
239
240
241
242
243
244
245
246
247
248
249
250
251
252
253
254
255
256
257
258
259
259
260
261
262
263
264
265
266
267
268
269
269
270
271
272
273
274
275
276
277
278
279
279
280
281
282
283
284
285
286
287
288
289
289
290
291
292
293
294
295
296
297
298
299
299
300
301
302
303
304
305
306
307
308
309
309
310
311
312
313
314
315
316
317
318
319
319
320
321
322
323
324
325
326
327
328
329
329
330
331
332
333
334
335
336
337
338
339
339
340
341
342
343
344
345
346
347
348
349
349
350
351
352
353
354
355
356
357
358
359
359
360
361
362
363
364
365
366
367
368
369
369
370
371
372
373
374
375
376
377
378
379
379
380
381
382
383
384
385
386
387
388
389
389
390
391
392
393
394
395
396
397
398
399
399
400
401
402
403
404
405
406
407
408
409
409
410
411
412
413
414
415
416
417
418
419
419
420
421
422
423
424
425
426
427
428
429
429
430
431
432
433
434
435
436
437
438
439
439
440
441
442
443
444
445
446
447
448
449
449
450
451
452
453
454
455
456
457
458
459
459
460
461
462
463
464
465
466
467
468
469
469
470
471
472
473
474
475
476
477
478
479
479
480
481
482
483
484
485
486
487
488
489
489
490
491
492
493
494
495
496
497
498
499
499
500
501
502
503
504
505
506
507
508
509
509
510
511
512
513
514
515
516
517
518
519
519
520
521
522
523
524
525
526
527
528
529
529
530
531
532
533
534
535
536
537
538
539
539
540
541
542
543
544
545
546
547
548
549
549
550
551
552
553
554
555
556
557
558
559
559
560
561
562
563
564
565
566
567
568
569
569
570
571
572
573
574
575
576
577
578
579
579
580
581
582
583
584
585
586
587
588
589
589
590
591
592
593
594
595
596
597
598
599
599
600
601
602
603
604
605
606
607
608
609
609
610
611
612
613
614
615
616
617
618
619
619
620
621
622
623
624
625
626
627
628
629
629
630
631
632
633
634
635
636
637
638
639
639
640
641
642
643
644
645
646
647
648
649
649
650
651
652
653
654
655
656
657
658
659
659
660
661
662
663
664
665
666
667
668
669
669
670
671
672
673
674
675
676
677
678
679
679
680
681
682
683
684
685
686
687
688
689
689
690
691
692
693
694
695
695
696
697
698
699
699
700
701
702
703
704
705
706
707
708
709
709
710
711
712
713
714
715
716
717
718
719
719
720
721
722
723
724
725
726
727
728
729
729
730
731
732
733
734
735
736
737
738
739
739
740
741
742
743
744
745
746
747
748
749
749
750
751
752
753
754
755
756
757
758
759
759
760
761
762
763
764
765
766
767
768
769
769
770
771
772
773
774
775
776
777
778
779
779
780
781
782
783
784
785
786
787
788
789
789
790
791
792
793
794
795
796
797
798
799
799
800
801
802
803
804
805
806
807
808
809
809
810
811
812
813
814
815
816
817
818
819
819
820
821
822
823
824
825
826
827
828
829
829
830
831
832
833
834
835
836
837
838
839
839
840
841
842
843
844
845
846
847
848
849
849
850
851
852
853
854
855
856
857
858
859
859
860
861
862
863
864
865
866
867
868
869
869
870
871
872
873
874
875
876
877
878
879
879
880
881
882
883
884
885
886
886
887
888
889
889
890
891
892
893
894
895
895
896
897
898
899
899
900
901
902
903
904
905
906
907
908
909
909
910
911
912
913
914
915
916
917
918
919
919
920
921
922
923
924
925
926
927
928
929
929
930
931
932
933
934
935
936
937
938
939
939
940
941
942
943
944
945
946
947
948
949
949
950
951
952
953
954
955
956
957
958
959
959
960
961
962
963
964
965
966
967
968
969
969
970
971
972
973
974
975
976
977
978
979
979
980
981
982
983
984
985
986
987
988
989
989
990
991
992
993
994
995
996
997
998
999
999
1000
1001
1002
1003
1004
1005
1006
1007
1008
1009
1009
1010
1011
1012
1013
1014
1015
1016
1017
1018
1019
1019
1020
1021
1022
1023
1024
1025
1026
1027
1028
1029
1029
1030
1031
1032
1033
1034
1035
1036
1037
1038
1039
1039
1040
1041
1042
1043
1044
1045
1046
1047
1048
1049
1049
1050
1051
1052
1053
1054
1055
1056
1057
1058
1059
1059
1060
1061
1062
1063
1064
1065
1066
1067
1068
1069
1069
1070
1071
1072
1073
1074
1075
1076
1077
1078
1079
1079
1080
1081
1082
1083
1084
1085
1086
1087
1088
1089
1089
1090
1091
1092
1093
1094
1095
1095
1096
1097
1098
1099
1099
1100
1101
1102
1103
1104
1105
1106
1107
1108
1109
1109
1110
1111
1112
1113
1114
1115
1116
1117
1118
1119
1119
1120
1121
1122
1123
1124
1125
1126
1127
1128
1129
1129
1130
1131
1132
1133
1134
1135
1136
1137
1138
1139
1139
1140
1141
1142
1143
1144
1145
1146
1147
1148
1148
1149
1150
1151
1152
1153
1154
1155
1156
1157
1158
1159
1159
1160
1161
1162
1163
1164
1165
1166
1167
1168
1169
1169
1170
1171
1172
1173
1174
1175
1176
1177
1178
1178
1179
1180
1181
1182
1183
1184
1185
1186
1187
1187
1188
1189
1189
1190
1191
1192
1193
1194
1195
1195
1196
1197
1198
1199
1199
1200
1201
1202
1203
1204
1205
1206
1207
1208
1209
1209
1210
1211
1212
1213
1214
1215
1216
1217
1218
1219
1219
1220
1221
1222
1223
1224
1225
1226
1227
1228
1229
1229
1230
1231
1232
1233
1234
1235
1236
1237
1238
1239
1239
1240
1241
1242
1243
1244
1245
1246
1247
1248
1248
1249
1250
1251
1252
1253
1254
1255
1256
1257
1258
1259
1259
1260
1261
1262
1263
1264
1265
1266
1267
1268
1269
1269
1270
1271
1272
1273
1274
1275
1276
1277
1278
1278
1279
1280
1281
1282
1283
1284
1285
1286
1287
1287
1288
1289
1289
1290
1291
1292
1293
1294
1295
1296
1296
1297
1298
1299
1299
1300
1301
1302
1303
1304
1305
1306
1307
1308
1309
1309
1310
1311
1312
1313
1314
1315
1316
1317
1318
1319
1319
1320
1321
1322
1323
1324
1325
1326
1327
1328
1329
1329
1330
1331
1332
1333
1334
1335
1336
1337
1338
1338
1339
1340
1341
1342
1343
1344
1345
1346
1347
1348
1348
1349
1350
1351
1352
1353
1354
1355
1356
1357
1358
1359
1359
1360
1361
1362
1363
1364
1365
1366
1367
1368
1368
1369
1370
1371
1372
1373
1374
1375
1376
1377
1378
1378
1379
1380
1381
1382
1383
1384
1385
1386
1387
1387
1388
1389
1389
1390
1391
1392
1393
1394
1395
1395
1396
1397
1398
1399
1399
1400
1401
1402
1403
1404
1405
1406
1407
1408
1409
1409
1410
1411
1412
1413
1414
1415
1416
1417
1418
1418
1419
1420
1421
1422
1423
1424
1425
1426
1427
1428
1428
1429
1430
1431
1432
1433
1434
1435
1436
1437
1437
1438
1439
1439
1440
1441
1442
1443
1444
1445
1446
1447
1447
1448
1449
1449
1450
1451
1452
1453
1454
1455
1456
1457
1457
1458
1459
1459
1460
1461
1462
1463
1464
1465
1466
1466
1467
1468
1468
1469
1470
1471
1472
1473
1474
1475
1476
1476
1477
1478
1478
1479
1480
1481
1482
1483
1484
1485
1486
1487
1487
1488
1489
1489
1490
1491
1492
1493
1494
1495
1495
1496
1497
1497
1498
1499
1499
1500
1501
1502
1503
1504
1505
1506
1507
1508
1508
1509
1510
1511
1512
1513
1514
1515
1516
1517
1517
1518
1519
1519
1520
1521
1522
1523
1524
1525
1526
1527
1527
1528
1529
1529
1530
1531
1532
1533
1534
1535
1536
1536
1537
1538
1538
1539
1540
1541
1542
1543
1544
1545
1546
1547
1547
1548
1549
1549
1550
1551
1552
1553
1554
1555
1556
1557
1557
1558
1559
1559
1560
1561
1562
1563
1564
1565
1566
1566
1567
1568
1568
1569
1570
1571
1572
1573
1574
1575
1576
1576
1577
1578
1578
1579
1580
1581
1582
1583
1584
1585
1586
1587
1587
1588
1589
1589
1590
1591
1592
1593
1594
1595
1595
1596
1597
1597
1598
1599
1599
1600
1601
1602
1603
1604
1605
1606
1607
1607
1608
1609
1609
1610
1611
1612
1613
1614
1615
1616
1617
1617
1618
1619
1619
1620
1621
1622
1623
1624
1625
1626
1627
1627
1628
1629
1629
1630
1631
1632
1633
1634
1635
1636
1636
1637
1638
1638
1639
1640
1641
1642
1643
1644
1645
1646
1646
1647
1648
1648
1649
1650
1651
1652
1653
1654
1655
1656
1657
1657
1658
1659
1659
1660
1661
1662
1663
1664
1665
1666
1667
1667
1668
1669
1669
1670
1671
1672
1673
1674
1675
1676
1676
1677
1678
1678
1679
1680
1681
1682
1683
1684
1685
1686
1686
1687
1688
1688
1689
1690
1691
1692
1693
1694
1695
1695
1696
1697
1697
1698
1699
1699
1700
1701
1702
1703
1704
1705
1706
1707
1707
1708
1709
1709
1710
1711
1712
1713
1714
1715
1716
1717
1717
1718
1719
1719
1720
1721
1722
1723
1724
1725
1726
1726
1727
1728
1728
1729
1730
1731
1732
1733
1734
1735
1736
1736
1737
1738
1738
1739
1740
1741
1742
1743
1744
1745
1746
1746
1747
1748
1748
1749
1750
1751
1752
1753
1754
1755
1756
1757
1757
1758
1759
1759
1760
1761
1762
1763
1764
1765
1766
1766
1767
1768
1768
1769
1770
1771
1772
1773
1774
1775
1776
1776
1777
1778
1778
1779
1780
1781
1782
1783
1784
1785
1786
1786
1787
1788
1788
1789
1790
1791
1792
1793
1794
1795
1795
1796
1797
1797
1798
1799
1799
1800
1801
1802
1803
1804
1805
1806
1807
1807
1808
1809
1809
1810
1811
1812
1813
1814
1815
1816
1816
1817
1818
1818
1819
1820
1821
1822
1823
1824
1825
1826
1826
1827
1828
1828
1829
1830
1831
1832
1833
1834
1835
1836
1836
1837
1838
1838
1839
1840
1841
1842
1843
1844
1845
1846
1846
1847
1848
1848
1849
1850
1851
1852
1853
1854
1855
1856
1856
1857
1858
1858
1859
1860
1861
1862
1863
1864
1865
1866
1866
1867
1868
1868
1869
1870
1871
1872
1873
1874
1875
1876
1876
1877
1878
1878
1879
1880
1881
1882
1883
1884
1885
1886
1886
1887
1888
1888
1889
1890
1891
1892
1893
1894
1894
1895
1896
1896
1897
1898
1898
1899
1900
1901
1902
1903
1904
1905
1906
1907
1907
1908
1909
1909
1910
1911
1912
1913
1914
1915
1916
1916
1917
1918
1918
1919
1920
1921
1922
1923
1924
1925
1926
1926
1927
1928
1928
1929
1930
1931
1932
1933
1934
1935
1936
1936
1937
1938
1938
1939
1940
1941
1942
1943
1944
1945
1946
1946
1947
1948
1948
1949
1950
1951
1952
1953
1954
1955
1956
1956
1957
1958
1958
1959
1960
1961
1962
1963
1964
1965
1965
1966
1967
1967
1968
1969
1969
1970
1971
1972
1973
1974
1975
1976
1976
1977
1978
1978
1979
1980
1981
1982
1983
1984
1985
1986
1986
1987
1988
1988
1989
1990
1991
1992
1993
1994
1995
1996
1996
1997
1998
1998
1999
2000
2001
2002
2003
2004
2005
2006
2007
2008
2009
2009
2010
2011
2012
2013
2014
2015
2016
2017
2018
2019
2020
2021
2022
2023
2024
2025
2026
2027
2028
2029
2030
2031
2032
2033
2034
2035
2036
2037
2038
2039
2040
2041
2042
2043
2044
2045
2046
2047
2048
2049
2050
2051
2052
2053
2054
2055
2056
2057
2058
2059
2060
2061
2062
2063
2064
2065
2066
2067
2068
2069
2070
2071
2072
2073
2074
2075
2076
2077
2078
2079
2080
2081
2082
2083
2084
2085
2086
2087
2088
2089
2090
2091
2092
2093
2094
2095
2096
2097
2098
2099
2099
2100
2101
2102
2103
2104
2105
2106
2107
2108
2109
2109
2110
2111
2112
2113
2114
2115
2116
2116
2117
2118
2118
2119
2120
2121
2122
2123
2124
2125
2126
2126
2127
2128
2128
2129
2130
2131
2132
2133
2134
2135
2136
2136
2137
2138
2138
2139
2140
2141
2142
2143
2144
2145
2146
2146
2147
2148
2148
2149
2150
2151
2152
2153
2154
2155
2156
2156
2157
2158
2158
2159
2160
2161
2162
2163
2164
2165
2166
2166
2167
2168
2168
2169
2170
2171
2172
2173
2174
2175
2176
2176
2177
2178
2178
2179
2180
2181
2182
2183
2184
2185
2186
2186
2187
2188
2188
2189
2190
2191
2192
2193
2194
2195
2196
2196
2197
2198
2198
2199
2200
2201
2202
2203
2204
2205
2206
2207
2207
2208
2209
2209
2210
2211
2212
2213
2214
2215
2216
2216
2217
2218
2218
2219
2220
2221
2222
2223
2224
2225
2226
2226
2227
2228
2228
2229
2230
2231
2232
2233
2234
2235
2236
2236
2237
2238
2238
2239
2240
2241
2242
2243
2244
2245
2246
2246
2247
2248
2248
2249
2250
2251
2252
2253
2254
2255
2256
2256
2257
2258
2258
2259
2260
2261
2262
2263
2264
2265
2266
2266
2267
2268
2268
2269
2270
2271
2272
2273
2274
2275
2276
2276
2277
2278
2278
2279
2280
2281
2282
2283
2284
2285
2286
2287
2288
2288
2289
2290
2291
2292
2293
2294
2295
2296
2296
2297
2298
2298
2299
2300
2301
2302
2303
2304
2305
2306
2307
2308
2309
2309
2310
2311
2312
2313
2314
2315
2316
2316
2317
2318
2318
2319
2320
2321
2322
2323
2324
2325
2326
2326
2327
2328
2328
2329
2330
2331
2332
2333
2334
2335
2336
2336
2337
2338
2338
2339
2340
2341
2342
2343
2344
2345
2346
2346
2347
2348
2348
2349
2350
2351
2352
2353
2354
2355
2356
2356
2357
2358
2358
2359
2360
2361
2362
2363
2364
2365
2366
2366
2367
2368
2368
2369
2370
2371
2372
2373
2374
2375
2376
2376
2377
2378

```

```

110         printf("Erro na chamada do programa.\n");
111         exit(-1);
112     }
113 }

114 int main(int argc, char **argv)
115 {
116
117     TipoPadrao v_Padrao;
118     FILE *v_ArquivoEntrada;
119     int v_TamanhoArquivo;
120     char v_NomeArquivo[100];
121     char v_StrPadrao[100];
122     long v_TamArquivo;
123     long v_TamPadrao;
124     int v_NumeroComparacoes = 0;
125     int v_Ocorrencias = 0 ;
126
127
128     int i = 0;
129
130
131     while ( (i = getopt(argc, argv, "f:p:")) != -1)
132     {
133         switch (i)
134         {
135             case 'f':
136                 strcpy(v_NomeArquivo, optarg);
137                 break;
138
139             case 'p':
140                 strcpy(v_StrPadrao, optarg);
141                 break;
142
143         }
144     }
145
146     OpenFile(v_NomeArquivo, &v_ArquivoEntrada, "r");
147
148     v_Padrao = (TipoPadrao)v_StrPadrao;
149
150     v_TamArquivo = (long)v_TamanhoArquivo;
151     v_TamPadrao = (long)strlen(v_StrPadrao);
152
153     BMH(v_ArquivoEntrada, v_Padrao, &v_TamPadrao, &
154          v_NumeroComparacoes, &v_Ocorrencias);
155     printf("\nComparacoes: %d\nOcorrencias: %d\n\n",
156           v_NumeroComparacoes, v_Ocorrencias);
157     fclose(v_ArquivoEntrada);
158
159     return 0;
160 }

```

Listagem 9: huffman.c

```
#include <stdio.h>
```

```

#define <math.h>
#define <stdlib.h>
#define <string.h>
5 #define <unistd.h>
#define Vazio           "!!!!!!!!!!\0"
#define Retirado        "*****\0"

10 #define M            3000000
#define N            50 /* Tamanho da chave */
#define BaseNum        128 /* Base numerica que o algoritmo trabalha
*/ 
#define MaxAlfabeto    255
/* Constante utilizada em ExtraiProximaPalavra */
15 #define MaxTamVetoresBO 10
#define TRUE 1
#define FALSE 0

typedef int Apontador;
20
typedef char TipoChave[N];
typedef int TipoPesos[N + 1];

typedef struct TipoItem {
25     TipoChave Chave;
     int Freq, Ordem;
} TipoItem;

typedef int Indice;
30
typedef TipoItem *TipoDicionario;
typedef short TipoAlfabeto[MaxAlfabeto + 1];

typedef struct TipoBaseOffset {
35     int Base, Offset;
} TipoBaseOffset;

typedef TipoBaseOffset TipoVetoresBO[MaxTamVetoresBO + 1];
typedef char TipoPalavra[256];
40
typedef TipoPalavra *TipoVetorPalavra;

void GeraPesos(TipoPesos p)
{ int i;
45   for (i = 0; i < N; i++)
     p[i] = 1 + (unsigned int )rand();
}

Indice h(TipoChave Chave, TipoPesos p)
50 { int i; unsigned int Soma = 0;
   for (i = 0; i < strlen(Chave); i++)
     Soma += (unsigned int)Chave[i] * p[i];
   return (Soma % M);
}
55
void Inicializa(TipoDicionario T)
{ int i;

```

```

    for ( i = 0; i < M; i++)
    {
        memcpy(T[ i ].Chave, Vazio, N + 1);
        T[ i ].Freq = 0;
    }
}

65 Apontador Pesquisa(TipoChave Ch, TipoPesos p, TipoDicionario T)
{ unsigned int i = 0;
unsigned int Inicial;

70 Inicial = h(Ch, p);
while ( strcmp (T[ ( Inicial + i ) % M ].Chave, Vazio) != 0 &&
        strcmp ( T[ ( Inicial + i ) % M ].Chave, Ch) != 0 && i < M)
    i++;

75 if ( strcmp ( T[ ( Inicial + i ) % M ].Chave, Ch) == 0)
return (( Inicial + i ) % M);
else
    return M; /* Pesquisa sem sucesso */
}

80 void Insere(TipoItem x, TipoPesos p, TipoDicionario T)
{ unsigned int i = 0;
unsigned int Inicial;
if ( Pesquisa(x.Chave, p, T) < M)
{ printf ("Elemento ja esta presente\n");
    return;
}
Inicial = h(x.Chave, p);
while ( strcmp ( T[ ( Inicial + i ) % M ].Chave, Vazio) != 0 &&
        strcmp ( T[ ( Inicial + i ) % M ].Chave, Retirado) != 0 && i < M)
    i++;
if ( i < M)
{ strcpy (T[ ( Inicial + i ) % M ].Chave, x.Chave);
    T[ ( Inicial + i ) % M ].Freq = x.Freq;
    T[ ( Inicial + i ) % M ].Ordem = x.Ordem;
}
else
    printf (" Tabela cheia\n");
}

95 void Retira(TipoChave Ch, TipoPesos p, TipoDicionario T)
{ Indice i;
    i = Pesquisa(Ch, p, T);
    if ( i < M)
        memcpy(T[ i ].Chave, Retirado, N);
    else
        printf ("Registro nao esta presente\n");
}

100 void imprime(TipoDicionario tabela)
{ int i, j;
    for ( i = 0; i <= M; i++)
    { printf ("%d ", i);
        for ( j = 0; j < N ; j++)

```

```

115         putchar( tabela[ i ].Chave[ j ] );
116         printf( " -- %4d -- %4d\n", tabela[ i ].Freq, tabela[ i ].Ordem );
117     }
118 }
119
120 /* Inicio dos procedimentos do Extrator */
121 void DefineAlfabeto( TipoAlfabeto Alfabeto, FILE *ArqAlf )
122 { /* Os Simbolos devem estar juntos em uma linha no arquivo */
123     char Simbolos[ MaxAlfabeto + 1 ];
124     int i;
125     char *Temp;
126     for (i = 0; i <= MaxAlfabeto; i++)
127         Alfabeto[ i ] = FALSE;
128     fgets( Simbolos, MaxAlfabeto + 1, ArqAlf );
129     Temp = strchr( Simbolos, '\n' );
130     if (Temp != NULL)
131         *Temp = 0;
132     for (i = 0; i <= strlen( Simbolos ) - 1; i++)
133         Alfabeto[ Simbolos[ i ] + 127 ] = TRUE;
134     Alfabeto[ 0 ] = FALSE; /* caractere de codigo zero: separador */
135 }
136
137
138 void ExtraiProximaPalavra ( TipoPalavra Result, int *Indice, char *Linha
139     ,
140     FILE *ArqTxt, TipoAlfabeto Alfabeto )
141 {
142     short FimPalavra = FALSE, Aux = FALSE;
143     Result[ 0 ] = '\0';
144     if (*Indice > strlen( Linha )) {
145         if (fgets( Linha, MaxAlfabeto + 1, ArqTxt )) {
146             /* Coloca um delimitador em Linha */
147             sprintf( Linha + strlen( Linha ), "%c", ( char ) 0 );
148             *Indice = 1;
149         } else { sprintf( Linha, "%c", ( char ) 0 ); FimPalavra = TRUE; }
150     }
151     while (*Indice <= strlen( Linha ) && !FimPalavra) {
152         if ( Alfabeto[ Linha[ *Indice - 1 ] + 127 ] ) {
153             sprintf( Result + strlen( Result ), "%c", Linha[ *Indice - 1 ] );
154             Aux = TRUE;
155         } else {
156             if (Aux) {
157                 if (Linha[ *Indice - 1 ] != ( char ) 0)
158                     (*Indice)--;
159             } else {
160                 sprintf( Result + strlen( Result ), "%c", Linha[ *Indice - 1 ] );
161             } FimPalavra = TRUE;
162         }
163         (*Indice)++;
164     }
165     char * Trim( char *str ) {
166         int i, j, len;
167         char * strtmp = malloc( sizeof( char [ strlen( str ) ] ) );
168         strcpy( strtmp, str );
169         len = strlen( strtmp );
170         i = 0;

```

```

    while(( i < len ) && (( strtmp[ i ] == ' ' ) || ( strtmp[ i ] == '\t' ) ||  

        /*( strtmp[ i ] == '\n' ) /*( strtmp[ i ] == '\r' ))) {  

        i++;  

    }  

175  j = len - 1;  

    while(( j >= 0 ) && (( strtmp[ j ] == ' ' ) || ( strtmp[ j ] == '\t' ) ||  

        /*( strtmp[ i ] == '\n' ) /*( strtmp[ i ] == '\r' ))) {  

        j--;  

    }  

180  if ( j >= 0 ) str[ j + 1 ] = '\0';  

    if ( i <= j ) {  

        strcpy(strtmp, strtmp + i);  

    } else {  

        strcpy(strtmp, "");  

    }  

185  return strtmp;  

}

/* Procedimentos da Compressao e Descompressao */
190 void PrimeiraEtapa(FILE *ArqTxt, TipoAlfabeto Alfabeto, int *Indice,  

                        TipoPalavra Palavra, char *Linha, TipoDicionario  

                        Vocabulario,  

                        TipoPesos p)
{
    TipoItem Elemento;
    int i;
    do {
        ExtraiProximaPalavra(Palavra, Indice, Linha, ArqTxt, Alfabeto);
        memcpy(Elemento.Chave, Palavra, sizeof(TipoChave));
        Elemento.Freq = 1;
200    if (*Palavra != '\0') {
            i = Pesquisa(Elemento.Chave, p, Vocabulario);
            if (i < M)
                Vocabulario[ i ].Freq++;
            else
                Insere(Elemento, p, Vocabulario);
            do {
                ExtraiProximaPalavra(Palavra, Indice, Linha, ArqTxt, Alfabeto);
                memcpy(Elemento.Chave, Palavra, sizeof(TipoChave));
                /* O primeiro espaço depois da palavra não é codificado */
210                if (strcmp(Trim(Palavra), "") && (*Trim(Palavra)) != (char)0) {
                    i = Pesquisa(Elemento.Chave, p, Vocabulario);
                    if (i < M)
                        Vocabulario[ i ].Freq++;
                    else
                        Insere(Elemento, p, Vocabulario);
                }
            }
        }
    }
}
220 void CalculaCompCodigo(TipoDicionario A, int n)
{
    int u = 0; /* Nodos internos usados */
    int h = 0; /* Altura da arvore */
225    int NoInt; /* Número de nodos internos */
    int Prox, Raiz, Folha;
}

```

```

int Disp = 1;
int x, Resto;
if (n > BaseNum - 1) {
    230   Resto = 1 + ((n - BaseNum) % (BaseNum - 1));
    if (Resto < 2) Resto = BaseNum;
} else Resto = n - 1;
NoInt = 1 + ((n - Resto) / (BaseNum - 1));
for (x = n - 1; x >= (n - Resto) + 1; x--)
    A[n].Freq += A[x].Freq;
/* Primeira Fase */
Raiz = n;
Folha = n - Resto;
for (Prox = n - 1; Prox >= (n - NoInt) + 1; Prox--) {
    240   /* Procura Posicao */
    if (Folha < 1 || Raiz > Prox && A[Raiz].Freq <= A[Folha].Freq)
    { /* No interno */
        A[Prox].Freq = A[Raiz].Freq;
        A[Raiz].Freq = Prox;
        Raiz--;
    } else { /* No-folha */
        A[Prox].Freq = A[Folha].Freq;
        Folha--;
    }
    250   /* Atualiza Frequencias */
    for (x = 1; x <= BaseNum - 1; x++) {
        if (Folha < 1 || Raiz > Prox && A[Raiz].Freq <= A[Folha].Freq)
        { /* No interno */
            A[Prox].Freq += A[Raiz].Freq;
            A[Raiz].Freq = Prox;
            Raiz--;
        } else { /* No-folha */
            A[Prox].Freq += A[Folha].Freq;
            Folha--;
        }
    }
}
/* Segunda Fase */
A[Raiz].Freq = 0;
for (Prox = Raiz + 1; Prox <= n; Prox++) {
    A[Prox].Freq = A[A[Prox].Freq].Freq + 1;
}
/* Terceira Fase */
Prox = 1;
270   while (Disp > 0) {
        while (Raiz <= n && A[Raiz].Freq == h) {
            u++;
            Raiz++;
        }
        while (Disp > u) {
            A[Prox].Freq = h;
            Prox++;
            Disp--;
            if (Prox > n) {
                u = 0;
                break;
            }
        }
}

```

```

        Disp = BaseNum * u;
285    h++;
        u = 0;
    }
}

290 void Particao(Indice Esq, Indice Dir, Indice *i, Indice *j,
    TipoDicionario A)

{ TipoItem x, w;
    *i = Esq; *j = Dir;
    x = A[(*i + *j) / 2]; /* obtém o pivô x */
295 do
    { while (x.Freq < A[*i].Freq) (*i)++;
        while (x.Freq > A[*j].Freq) (*j)--;
        if (*i <= *j)
            { w = A[*i]; A[*i] = A[*j]; A[*j] = w;
300            (*i)++; (*j)--;
            }
        } while (*i <= *j);
    }

305 void Ordena(Indice Esq, Indice Dir, TipoDicionario A)
{ Indice i, j;
    Particao(Esq, Dir, &i, &j, A);
    if (Esq < j) Ordena(Esq, j, A);
    if (i < Dir) Ordena(i, Dir, A);
310 }
void QuickSort(TipoDicionario A, Indice *n)
{ Ordena(1, *n, A);
}

315 Indice OrdenaPorFrequencia(TipoDicionario Vocabulario)
{
    Indice i;
    Indice n = 1;
    TipoItem Item;

320    Item = Vocabulario[1];
    for (i = 0; i <= M - 1; i++) {
        if (strcmp(Vocabulario[i].Chave, Vazio)) {
            if (i != 1) {
                Vocabulario[n] = Vocabulario[i];
                n++;
            }
        }
    }
    if (strcmp(Item.Chave, Vazio))
        Vocabulario[n] = Item;
    else
        n--;
    QuickSort(Vocabulario, &n);
325    return n;
}

330
335
}
/* Procedimento para gravar um numero inteiro em um arquivo de bytes */

```

```

340 void GravaNumInt(FILE *ArqComprimido, int Num)
{
    fwrite(&Num, sizeof(int), 1, ArqComprimido);
}

345 /* Procedimento para ler um numero inteiro de um arquivo de bytes */
int LeNumInt(FILE *ArqComprimido)
{
    int Num;
350    fread(&Num, sizeof(int), 1, ArqComprimido);
    return Num;
}

355 int ConstroiVetores(TipoVetoresBO VetoresBaseOffset,
                      TipoDicionario Vocabulario, int n, FILE *ArqComprimido)
{
    int Wcs[MaxTamVetoresBO + 1];
    int i, MaxCompCod;

360    MaxCompCod = Vocabulario[n].Freq;
    for (i = 1; i <= MaxCompCod; i++)
    {
        Wcs[i] = 0; VetoresBaseOffset[i].Offset = 0;
    }
365    for (i = 1; i <= n; i++) {
        Wcs[Vocabulario[i].Freq]++;
        VetoresBaseOffset[Vocabulario[i].Freq].Offset = i - Wcs[Vocabulario
            [i].Freq] + 1;
    }
    VetoresBaseOffset[1].Base = 0;
    for (i = 2; i <= MaxCompCod; i++) {
        VetoresBaseOffset[i].Base = BaseNum * (VetoresBaseOffset[i-1].Base
            + Wcs[i-1]);
        if (VetoresBaseOffset[i].Offset == 0)
            VetoresBaseOffset[i].Offset = VetoresBaseOffset[i-1].Offset;
    }
375    /* Salvando as tabelas em disco */
    GravaNumInt(ArqComprimido, MaxCompCod);
    for (i = 1; i <= MaxCompCod; i++) {
        GravaNumInt(ArqComprimido, VetoresBaseOffset[i].Base);
        GravaNumInt(ArqComprimido, VetoresBaseOffset[i].Offset);
    }
    return MaxCompCod;
}

385 int SegundaEtapa(TipoDicionario Vocabulario,
                    TipoVetoresBO VetoresBaseOffset, TipoPesos p,
                    FILE *ArqComprimido)
{
390    int Result, i, j, NumNodosFolhas, PosArq;
    TipoItem Elemento;
    char Ch;
    TipoPalavra Palavra;

```

```

395  NumNodosFolhas = OrdenaPorFrequencia(Vocabulario);
  CalculaCompCodigo(Vocabulario, NumNodosFolhas);
  Result = ConstroiVetores(VetoresBaseOffset, Vocabulario,
                           NumNodosFolhas,
                           ArqComprimido);
  /* Grava Vocabulario */
400  GravaNumInt(ArqComprimido, NumNodosFolhas);
  PosArq = ftell(ArqComprimido);
  for (i = 1; i <= NumNodosFolhas; i++) {
    j = 1;
    while (Vocabulario[i].Chave[j-1] != (char)0) {
      405   fwrite(&Vocabulario[i].Chave[j-1], sizeof(char), 1, ArqComprimido);
            );
    j++;
  }
  Ch = (char)0;
  fwrite(&Ch, sizeof(char), 1, ArqComprimido);
410 }
  /* Le e reconstrói a condição de hash no vetor que contém o
     vocabulário */
  fseek(ArqComprimido, PosArq, SEEK_SET);
  Inicializa(Vocabulario);
  for (i = 1; i <= NumNodosFolhas; i++) {
415   *Palavra = '\0';
    do {
      fread(&Ch, sizeof(char), 1, ArqComprimido);
      if (Ch != (char)0)
        sprintf(Palavra + strlen(Palavra), "%c", Ch);
    } 420   while (Ch != (char)0);
    memcpy(Elemento.Chave, Palavra, sizeof(TipoChave));
    Elemento.Ordem = i;
    j = Pesquisa(Elemento.Chave, p, Vocabulario);
    if (j >= M)
      Insere(Elemento, p, Vocabulario);
    425   }
  }
  return Result;
}

430 void Escreve(FILE *ArqComprimido, int *Codigo, int *c)
{
  unsigned char Saida[MaxTamVetoresBO + 1];
  int i = 1;
  435 int cTmp;
  int LogBase2 = (int)round(log(BaseNum) / log(2.0));
  int Mask = (int)pow(2, LogBase2) - 1;
  cTmp = *c;
  Saida[i] = ((unsigned)(*Codigo)) >> ((*c - 1) * LogBase2);
  440 if (LogBase2 == 7) Saida[i] = Saida[i] | 0x80;
  i++;
  (*c)--;
  while (*c > 0) {
    Saida[i] = (((unsigned)(*Codigo)) >> ((*c - 1) * LogBase2)) & Mask;
    i++;
    (*c)--;
  }
  445 for (i = 1; i <= cTmp; i++)

```

```

        fwrite(&Saída[ i ] , sizeof(unsigned char) , 1 , ArqComprimido) ;
450    }

int Codifica(TipoVetoresBO VetoresBaseOffset , int Ordem ,
               int *c , int MaxCompCod)
455    {
        *c = 1 ;
        while (Ordem >= VetoresBaseOffset[*c + 1].Offset && *c + 1 <=
               MaxCompCod)
            (*c)++ ;
        return (Ordem - VetoresBaseOffset[*c].Offset + VetoresBaseOffset[*c].
               Base) ;
460    }

void TerceiraEtapa(FILE *ArqTxt , TipoAlfabeto Alfabeto , int *Indice ,
                     TipoPalavra Palavra , char *Linha , TipoDicionario Vocabulario ,
                     TipoPesos p ,
465    TipoVetoresBO VetoresBaseOffset , FILE *ArqComprimido , int MaxCompCod)
    {
        Apontador Pos ;
        TipoChave Chave ;
        int Código , c ;
470    do {
            ExtraiProximaPalavra(Palavra , Indice , Linha , ArqTxt , Alfabeto) ;
            memcpy(Chave , Palavra , sizeof(TipoChave)) ;
            if (*Palavra != '\0') {
                Pos = Pesquisa(Chave , p , Vocabulario) ;
                Código = Codifica(VetoresBaseOffset , Vocabulario[Pos].Ordem , &c ,
                                   MaxCompCod) ;
                Escreve(ArqComprimido , &Código , &c) ;
                do {
                    ExtraiProximaPalavra(Palavra , Indice , Linha , ArqTxt , Alfabeto) ;
475        /* O primeiro espaço depois da palavra não é codificado */
                    if (strcmp(Trim(Palavra) , "") && (*Trim(Palavra)) != (char)0) {
                        memcpy(Chave , Palavra , sizeof(TipoChave)) ;
                        Pos = Pesquisa(Chave , p , Vocabulario) ;
                        Código = Codifica(VetoresBaseOffset , Vocabulario[Pos].Ordem ,
                                           &c ,
                                           MaxCompCod) ;
                        Escreve(ArqComprimido , &Código , &c) ;
485                    }
                    }
                }
            }
        }
    }
480    while (*Palavra != '\0') ;
490    }

void Compressao(FILE *ArqTxt , FILE *ArqAlf , FILE *ArqComprimido)
495    {
        TipoAlfabeto Alfabeto ;
        TipoPalavra Palavra , Linha ;
        int Ind = 1 ;
        int MaxCompCod ;
500    TipoDicionario Vocabulario ;
        TipoPesos p ;

```

```

    TipoVetoresBO VetoresBaseOffset;

    Vocabulario = malloc(M*sizeof(TipoItem));

505   /* Inicializacao do Alfabeto */
    DefineAlfabeto(Alfabeto, ArqAlf); /* Le o alfabeto definido em
                                         arquivo */
    *Linha = '\0';

    /* Inicializacao do Vocabulario */
    Inicializa(Vocabulario);
    GeraPesos(p);
    /* Inicio da Compressao */
    PrimeiraEtapa(ArqTxt, Alfabeto, &Ind, Palavra, Linha, Vocabulario, p)
    ;
    MaxCompCod = SegundaEtapa(Vocabulario, VetoresBaseOffset, p,
515      ArqComprimido);
    fseek(ArqTxt, 0, SEEK_SET); /* Coloca o cursor de leitura no inicio
                                 do arquivo*/
    Ind = 1;
    *Linha = '\0';
    TerceiraEtapa(ArqTxt, Alfabeto, &Ind, Palavra, Linha, Vocabulario, p,
520      VetoresBaseOffset, ArqComprimido, MaxCompCod);
}

/* Procedimentos da Descompressao */
525 int LeVetores(FILE *ArqComprimido,
                  TipoBaseOffset *VetoresBaseOffset)
{
    int MaxCompCod, i;
    MaxCompCod = LeNumInt(ArqComprimido);
530   for (i = 1; i <= MaxCompCod; i++) {
        VetoresBaseOffset[i].Base = LeNumInt(ArqComprimido);
        VetoresBaseOffset[i].Offset = LeNumInt(ArqComprimido);
    }
    return MaxCompCod;
535 }

int LeVocabulario(FILE *ArqComprimido, TipoVetorPalavra Vocabulario)
{
540   int NumNodosFolhas, i;
   TipoPalavra Palavra;
   char Ch;
   NumNodosFolhas = LeNumInt(ArqComprimido);
   for (i = 1; i <= NumNodosFolhas; i++) {
545     *Palavra = '\0';
     do {
       fread(&Ch, sizeof(unsigned char), 1, ArqComprimido);
       if (Ch != (char)0) /* As palavras estao separadas pelo caractere
                           '\0' */
         sprintf(Palavra + strlen(Palavra), "%c", Ch);
     } while (Ch != (char)0);
     strcpy(Vocabulario[i], Palavra);
   }
   return NumNodosFolhas;
}

```

```

555
 555 int Decodifica (TipoVetoresBO VetoresBaseOffset ,
                      FILE *ArqComprimido, int MaxCompCod)
 560 {
 560   int c = 1;
 560   intCodigo = 0, CodigoTmp = 0;
 560   int LogBase2 = (int)round (log (BaseNum) / log (2.0));
 560   fread (&Codigo, sizeof(unsigned char), 1, ArqComprimido);
 560   if (LogBase2 == 7) Codigo -= 128; /* remove o bit de marcacao */
 560   while ((c + 1 <= MaxCompCod) &&
 565     ((Codigo << LogBase2) >= VetoresBaseOffset [c + 1].Base)) {
 565     fread (&CodigoTmp, sizeof(unsigned char), 1, ArqComprimido);
 565     Codigo = (Codigo << LogBase2) | CodigoTmp;
 565     c++;
 565   }
 570   return (Codigo - VetoresBaseOffset [c].Base + VetoresBaseOffset [c].
 570   Offset);
 570 }

 575
void Descompressao (FILE *ArqComprimido, FILE *ArqTxt, FILE *ArqAlf)
 575 {
 575   TipoAlfabeto Alfabeto;
 575   int Ind, MaxCompCod;
 575   TipoVetorPalavra Vocabulario;
 575   TipoVetoresBO VetoresBaseOffset;
 580   TipoPalavra PalavraAnt;

 580   Vocabulario = malloc (M*sizeof (TipoPalavra));
 580

 585   DefineAlfabeto (Alfabeto, ArqAlf); /* Le o alfabeto definido em
 585   arquivo */
 585   MaxCompCod = LeVetores (ArqComprimido, VetoresBaseOffset);
 585   LeVocabulario (ArqComprimido, Vocabulario);
 585   Ind = Decodifica (VetoresBaseOffset, ArqComprimido, MaxCompCod);
 585   fputs (Vocabulario [Ind], ArqTxt);
 585   while (!feof (ArqComprimido)) {
 590     Ind = Decodifica (VetoresBaseOffset, ArqComprimido, MaxCompCod);
 590     if (Ind > 0) {
 590       if (Alfabeto [Vocabulario [Ind] [0] + 127] && PalavraAnt [0] != '\n')
 590         putc (' ', ArqTxt);
 590         strcpy (PalavraAnt, Vocabulario [Ind]);
 595       fputs (Vocabulario [Ind], ArqTxt);
 595     }
 595   }
 595 }

 600 /* Procedimentos para fazer busca */

 605 #define MaxTamTexto 100000000
 605 #define MaxTamPadrao 1000
 605 #define MaxChar 256

 605 typedef char *TipoTexto;
 605 typedef char TipoPadrao [MaxTamPadrao + 1];

```

```

610
void BMH(TipoTexto T, int n, TipoPadrao P, int m)
{
    int i, j, k;
    int d[MaxChar + 1];
615    int cont = 0;
    int comp = 0;

    //if (! ( P == NULL || strlen (P) == 0 || P == "" ))
620    //{

        /*— Pre-processamento do padrao —*/
        for (j = 0; j <= MaxChar; j++) d[j] = m;
        for (j = 1; j <= m - 1; j++) d[P[j] + 128] = m - j;
625        i = m;
        while (i <= n) /*— Pesquisa —*/
        {
            k = i;
            j = m;
            while (T[k] == P[j] && j > 0) {
630                k--;
                j--;
                comp = comp + 1;
            }
            comp = comp + 1;
635            if (j == 0)
            {
                printf("Casamento na posicao: %3d\n", k + 1);
                cont++;
            }
640            i += d[T[i] + 128];
        }
645    //}
    printf("Comparacoes %d\n", comp);
    printf("Ocorrencias %d\n", cont);
}

void Atribui(TipoPadrao P, int Codigo, int c)
650 {
    int i = 1/*, cTmp = c*/;
    P[i] = (char) ((Codigo >> ((c - 1) * 7)) | 0x80);
    i++;
    c--;
655    while (c > 0) {
        P[i] = (char) ((Codigo >> ((c - 1) * 7)) & 127);

        i++;
        c--;
660    }
}

void imprimePadrao(TipoPadrao Padrao)
{
665    int i = 1;
    for (i = 1; i <= strlen(Padrao); i++)

```

```

    {
        printf ("%c", Padrao[ i ]) ;
    }
670 }

void Busca (FILE *ArqComprimido, FILE *ArqAlf, char *p_Padrao)
{
    TipoAlfabeto Alfabeto;
675    int Ind, Código, MaxCompCod;
    TipoVetorPalavra Vocabulario;
    TipoVetoresBO VetoresBaseOffset;
    //TipoPalavra p;
    int c, Ord, NumNodosFolhas;
680    TipoTexto T;
    TipoPadrao Padrao;
    TipoPadrao v_PadraoBuscar;
    long n = 1;
    T = malloc (MaxTamTexto*sizeof (char));
685    char delims [] = " ";
    char *result;
    int i = 0;
    int j = 1;

690    strcpy (v_PadraoBuscar, "");

    Vocabulario = malloc ((M+1)*sizeof (TipoPalavra));
695    DefineAlfabeto (Alfabeto, ArqAlf);
    MaxCompCod = LeVetores (ArqComprimido, VetoresBaseOffset);

    NumNodosFolhas = LeVocabulario (ArqComprimido, Vocabulario);
    while (fread (&T[n], sizeof (char), 1, ArqComprimido)) n++;

700    result = strtok ( p_Padrao, delims );
}

while ( result != NULL )
705 {
    if ( result != NULL)
    {
        // fred
        Ord = -1;
        printf ("Result %s\n", result);
        for (Ind = 1; Ind <= NumNodosFolhas; Ind++)
            if (!strcmp (Vocabulario[ Ind ], result)) Ord = Ind;

715    Código = Codifica (VetoresBaseOffset, Ord, &c,
        MaxCompCod);
        Atribui (Padrao, Código, c);

        if (Ord == -1)
        {
            printf ("%s nao esta no Vocabulario:\n"
                "nComparacoes 0\n0correncias 0\n", result);
720        return;
    }
}

```

```

        }

725    for ( i = 1; i<=c; i++)
    {
        v_PadraoBuscar [ j ] = Padrao[ i ];
        j++;
    }

730    } //end do IF

    result = strtok( NULL, delims );

}

735 BMH(T, n, v_PadraoBuscar, j-1);

}

740 void trataEntrada(int p_ArgumentosSistema)
{
    if ( p_ArgumentosSistema < 4 )
    {
        printf("Erro na chamada do programa. Consulte
               documentacao.\n");
        exit(0);
    }
}

750 int main(int argc, char *argv[])
{
    FILE *ArqTxt = NULL, *ArqAlf = NULL;
    FILE *ArqComprimido = NULL;
    //TipoPalavra NomeArqTxt, NomeArqAlf, NomeArqComp, Opcão;
    char NomeArqTxt[100], NomeArqAlf[100], NomeArqComp[100], Opcão
        [10];

    strcpy(Opcão, argv[1]);

    strcpy(NomeArqAlf, "alfabeto2.txt");
760    ArqAlf = fopen(NomeArqAlf, "r");
    trataEntrada(argc);

    if (Opcão[0] == 'c')
    {
        // Compressão
        printf("Compressão de <%s> em <%s>.\n", argv
            [2], argv[3]);
        strcpy(NomeArqTxt, argv[2]);
        strcpy(NomeArqComp, argv[3]);
        ArqTxt = fopen(NomeArqTxt, "r");
        ArqComprimido = fopen(NomeArqComp, "w+b");
        Compressão(ArqTxt, ArqAlf, ArqComprimido);
        fclose(ArqTxt);
        ArqTxt = NULL;
        fclose(ArqComprimido);
        ArqComprimido = NULL;
775
}

```

```

    }
    else if (Opcao[0] == 'd')
    {

        780     printf ("Descompressão de <%s> em <%s>. \n", argv
                  [2], argv[3]);
        strcpy (NomeArqComp, argv[2]);
        strcpy (NomeArqTxt, argv[3]);
        ArqTxt = fopen (NomeArqTxt, "w");
        ArqComprimido = fopen (NomeArqComp, "r+b");
        Descompressao (ArqComprimido, ArqTxt, ArqAlf);
        fclose (ArqTxt);
        ArqTxt = NULL;
        fclose (ArqComprimido);
        ArqComprimido = NULL;
    }
    795    else if (Opcao[0] == 'p')
    {

        ArqComprimido = fopen (argv[2], "r+b");
        if (ArqComprimido == NULL)
        {
            800     printf ("Arquivo comprimido não encontrado. \n");
            return 0;;
        }
        Busca (ArqComprimido, ArqAlf, argv[3]);
        //fclose (ArqComprimido);
        ArqComprimido = NULL;
    }
    805    return 0;
}
/* End. */

```

Referências

- [1] Gonzalo Navarro. A Guided Tour to Approximate String Matching. *ACM Comput. Surv.*, 33(1):31–88, 2001.
- [2] CPP Reference. Cpp Reference Web Site. In Web site: <http://www.cppreference.com>, 2006.
- [3] WikiPedia. Huffman coding. In *WikiPedia, A Encyclopédia Livre*, 2006.
- [4] Nívio Ziviani. *Projeto de Algoritmos Com Implementações em Pascal e C*. Pioneira Thomson Learning, 2004.